

อภิธานการ



สำนักหอสมุด

รายงานวิจัยฉบับสมบูรณ์

โครงการวิจัยเรื่อง ผลการต้านมะเร็ง ผ่านการยับยั้งขบวนการสร้าง
ไขมัน ดี โนโว ของสารสกัดจากสารออกฤทธิ์ทางชีวภาพจากแคะติ
โนแบคทีเรียในดินป่าไม้ อุทยานแห่งชาติน้ำหนาวประเทศไทย
(R2559B130)

สำนักหอสมุด มหาวิทยาลัยนเรศวร

วันลงทะเบียน... 22... มีค. 2565...

เลขทะเบียน... 1049859

เลขเรียกหนังสือ... จ ๑๘

๕๗

. A35

๑๕๑๑๖

๒๕๖๓

ผศ.ดร.ดำรงศักดิ์ เป็กทอง
ภาควิชาเภสัชกรรมปฏิบัติ คณะเภสัชศาสตร์
มหาวิทยาลัยนเรศวร จ. พิษณุโลก

บทคัดย่อ

จากการนำแบคทีเรียจากดินและพืชในประเทศไทยมาทดสอบการยับยั้งการเจริญของ เซลล์มะเร็งตับ HepG2 ขึ้นต้น จำนวน 14 สายพันธุ์ โดยเป็นแบคทีเรียที่แยกได้จากดินในเขตอุทยานแห่งชาติ น้ำหนาว ประเทศไทย และ จาก ดินรอบรากซิงที่ปลูกใน อ.บางกระพุ่ม จ. พิษณุโลก จำนวน 2 และ 3 ไอโซเลท ตามลำดับ แยกได้จากรากของต้นข้าวจำนวน 9 ไอโซเลท เมื่อทำการจัดจำแนกชนิดของเชื้อแบคทีเรียที่ นำมาใช้ในการวิจัยโดยอาศัยลักษณะทางสัณฐานวิทยา ร่วมกับการวิเคราะห์ลำดับเบสในบริเวณยีน 16S rDNA พบว่าแบคทีเรียที่แยกได้จากดินในเขตอุทยานแห่งชาติน้ำหนาว ประเทศไทย คือ ไอโซเลท S1 และ S2 มีความ ใกล้เคียงกับ *Bacillus tequilensis* และ *Bacillus subtilis* subsp. *inaquosorum* มากที่สุด โดยมีความ เหมือนเท่ากับ 99.86% และ 99.86% ตามลำดับ แบคทีเรียจำนวน 12 ไอโซเลทที่แยกได้จากดินรอบรากซิง และ รากของข้าวพบว่าจัดอยู่ในกลุ่มของแอคติโนแบคทีเรียโดย จัดอยู่ในจีนัส *Microbispora* sp. 2 ไอโซเลท (HML2 และ LPL) และ *Streptomyces* sp. 10 ไอโซเลท การวิเคราะห์ลำดับเบสของยีน 16S rRNA ของ แอคติโนแบคทีเรียของ 4 ไอโซเลทที่ให้ผลการยับยั้งเซลล์มะเร็งได้ดีและมีปริมาณสารสกัดที่สูง ได้แก่ JPN2, B14, Zin05 และ B19 พบว่ามีความใกล้เคียงกับ *Streptomyces kunmingensis*, *Streptomyces coerulescens*, *Streptomyces californicus* และ *Streptomyces variabilis* ตามลำดับ โดยมี % identity เท่ากับ 99 %

การเพาะเลี้ยงเพื่อสกัดแยกสารทุติยภูมิจะใช้อาหารที่แตกต่างกัน โดย *Bacillus* 2 ไอโซเลทจะ เพาะเลี้ยงบนอาหาร 2 ชนิด (Glucose yeast peptone broth medium และ 2) Yeast extract peptone dextrose agar) และเพาะเลี้ยงที่ อุณหภูมิ 27 และ 37 °C เป็นเวลา 7 และ 15 วัน สำหรับแอคติโนแบคทีเรีย ทั้ง 12 ไอโซเลท จะเพาะเลี้ยงบนอาหาร ISP2 broth ปั่นบนเครื่องเขย่าด้วยความเร็ว 150 รอบต่อนาที ที่ อุณหภูมิ 30 °C เป็นเวลา 14 วัน

การสกัดแยกสารทุติยภูมิจากอาหารเลี้ยงเชื้อ ใช้วิธี liquid-liquid partition โดยใช้ไดคลอโร มีเทนซึ่งจะได้สารกลุ่มมีขี้ขี้ขี้ และเอทิลอะซิเตทจะได้สารกลุ่มมีขี้ขี้ขี้ขี้ ผลของการสกัดพบว่าสารจาก *Bacillus* ทั้ง 2 ไอโซเลท มีปริมาณผลผลิตของสารสกัด (หมายเลข 1-32) ในช่วง 7-120 % yield (ได้สารสกัด ในหน่วยมิลลิกรัมต่ออาหารเลี้ยงเชื้อ 100 มิลลิลิตร) เมื่อวิเคราะห์องค์ประกอบทางเคมีขั้นต้นของสารสกัดใน ชั้นต่าง ๆ โดยวิธี thin layer chromatography พบว่าสารสกัดหมายเลข 4,8,12,16,19,20,23,24,28 และ 32 มีองค์ประกอบทางเคมีที่ใกล้เคียงกับสารสกัดจาก S1 และ S2 ที่มีฤทธิ์ในการยับยั้งการเจริญเติบโตของเซลล์มะเร็งที่ เคยมีการทดสอบในการทดลองขั้นต้นในการทดลองก่อนหน้า และมีร้อยละผลผลิตที่มากพอที่จะนำไป เพาะเลี้ยงเพื่อเพิ่มปริมาณให้เพียงพอต่อการศึกษาลำดับต่อไปได้ จึงได้นำสารสกัดทั้ง 10 ชนิดนี้มาวิเคราะห์ องค์ประกอบทางเคมีเชิงปริมาณ พบว่าสารสกัดทั้ง 10 ชนิดมีปริมาณสารในกลุ่มฟีนอลิกในช่วง 108-395 mg gallic acid equivalent/g extract, ปริมาณสารในกลุ่มฟลาโวนอยด์พบได้น้อย เฉพาะสารสกัดย่อยหมายเลข 16 มี 11 mg rutin equivalent/g extract, ปริมาณสารในกลุ่มคาร์ดิแอกไกลโคไซด์ พบได้ในหลายสารสกัด แตกต่างกันไปในช่วง 4-337 mg digoxin equivalent/g extract, ปริมาณสารในกลุ่มอัลคาลอยด์ตรวจไม่พบ เมื่อเทียบกับสารมาตรฐาน berberine chloride และ ปริมาณสารในกลุ่มไตรเทอพีนอยด์พบในปริมาณ ค่อนข้างสูงในช่วง 98-237 mg ursolic acid equivalent/g extract เมื่อนำสารสกัดทั้ง 10 ชนิดนี้มาทดสอบ ฤทธิ์ทางชีวภาพเบื้องต้นในโครงการย่อย 2 พบว่าสารสกัดหมายเลข 4, 8, 20, 23, 24, 28 และ 32 มีฤทธิ์ยับยั้ง การเจริญเติบโตของเซลล์มะเร็ง HepG2 ในหลอดทดลองค่อนข้างสูงโดยในจำนวนนี้สารสกัดหมายเลข 20, 24 และ 32 มีร้อยละผลผลิตค่อนข้างมาก

สารสกัดจากแอคติโนแบคทีเรียพบว่าได้ปริมาณสารสกัดมีร้อยละผลผลิตในช่วง 3-21 mg% yield โดยชั้นไตรโคลอโรมีเทนของไอโซเลท JPN2 มีร้อยละผลผลิตค่อนข้างมากอีกทั้งมีฤทธิ์ในการยับยั้งการเจริญเติบโตของเซลล์มะเร็ง HepG2 ในหลอดทดลองค่อนข้างสูง เชื้อไอโซเลท JPN2 (*Streptomyces kunmingensis* ระบุสปีชีส์ของเชื้อจากการเปรียบเทียบลำดับนิวคลีโอไทด์ในบริเวณ 16S rDNA ยืนยันแล้วนำลำดับนิวคลีโอไทด์ที่ได้เทียบเคียงกันกับลำดับนิวคลีโอไทด์ของแบคทีเรียในฐานข้อมูลที่มีอยู่ใน NCBI) จึงถูกเลือกนำไปเพาะเลี้ยงให้ได้ปริมาณมากขึ้น (25 ลิตร) ได้สารสกัดชั้นไตรโคลอโรมีเทน 858 mg (ร้อยละผลผลิต 3.4) เพื่อนำไปทดสอบฤทธิ์ในการยับยั้งการเจริญเติบโตของเซลล์มะเร็งตับในโครงการ 2 ต่อไป จากผลการทดลองทั้งหมดพบว่าเชื้อที่นำมาศึกษาทั้ง 14 ไอโซเลท (จาก *Bacillus* sp. และ แอคติโนแบคทีเรีย) สามารถผลิตสารทุติยภูมิที่มีฤทธิ์ในการยับยั้งการเจริญเติบโตของเซลล์มะเร็ง HepG2 ในหลอดทดลองค่อนข้างสูง มีศักยภาพในการนำไปพัฒนาต่อเนื่องเพื่อค้นหาสารออกฤทธิ์ทางชีวภาพที่ได้มาจากความหลากหลายทางชีวภาพของประเทศไทยต่อไป



สารบัญเรื่อง

| เรื่อง | หน้า |
|--|------|
| 1. บทนำ | |
| หลักการเหตุผลและระบุสาเหตุที่ต้องดำเนินการวิจัย | 5 |
| วัตถุประสงค์ของโครงการวิจัย | 5 |
| 2. ทบทวนวรรณกรรมที่เกี่ยวข้อง | 6 |
| 3. ระเบียบวิธีวิจัย | |
| เชื้อแบคทีเรียที่ใช้ในการวิจัย | 13 |
| การจัดจำแนกชนิดของแบคทีเรีย | 13 |
| การเพาะเลี้ยงเชื้อแบคทีเรียไอโซเลท S1 และ S2 และแอกติโนแบคทีเรีย | 14 |
| การวิเคราะห์สารทุติยภูมิแต่ละกลุ่มเชิงปริมาณ | 15 |
| 4. ผลการวิจัยและการวิเคราะห์ผลการวิจัย | |
| การจัดจำแนกชนิดเชื้อแบคทีเรียไอโซเลท S1 และ S2 | 20 |
| การจัดจำแนกชนิดเชื้อแอกติโนแบคทีเรียที่แยกได้จากดินรอบรากข้าว ร้อยละและลักษณะของผลผลิตของการสกัดอาหารเพาะเลี้ยงเชื้อ | 26 |
| <i>Bacillus tequilensis</i> (S1) และ <i>Bacillus subtilis</i> (S2) | 34 |
| TLC fingerprint ของสารสกัดจากเชื้อ <i>Bacillus tequilensis</i> (S1) และ <i>Bacillus subtilis</i> (S2) | 35 |
| การวัดปริมาณกลุ่มสารทุติยภูมิในสารสกัดที่ได้จากการเพาะเลี้ยง เชื้อ <i>Bacillus tequilensis</i> (S1) และ <i>Bacillus subtilis</i> (S2) | 37 |
| ร้อยละและลักษณะของผลผลิตของการสกัดอาหารเพาะเลี้ยง เชื้อแอกติโนแบคทีเรีย 12 isolates | 40 |
| TLC fingerprint ของสารสกัดจากเชื้อแอกติโนแบคทีเรีย 12 isolates | 42 |
| 5. สรุปผลการวิจัย อภิปราย และข้อเสนอแนะ | 43 |
| 6. เอกสารอ้างอิง | 44 |

1. หลักการเหตุผลและระบุสาเหตุที่ต้องดำเนินการวิจัย

แอกติโนแบคทีเรีย (Actinobacteria) เป็นแบคทีเรียกลุ่มสำคัญที่มีรายงานการพบสารเมแทบอไลต์ปฐมภูมิ (Primary metabolites) และสารเมแทบอไลต์ทุติยภูมิ (Secondary metabolites) หลายชนิดซึ่งกำหนดการสร้างโดยยีนบนโครโมโซมของแบคทีเรียกลุ่มดังกล่าว สารเมตาบอไลต์ที่แอกติโนแบคทีเรียสร้างมีความหลากหลายทั้งชนิด และการออกฤทธิ์ทางชีวภาพ เช่น สารต้านจุลชีพ (Antimicrobials) สารต้านมะเร็ง (Anticancer) และสารกระตุ้นภูมิคุ้มกัน (Immunostimulants) เป็นต้น [Jensen and William, 1994; Zheng et al., 2000; Fiedler et al., 2005; Jensen et al., 2007; William, 2008; Olano et al., 2009]

นอกจากความหลากหลายชนิด (Species diversity) และความหลากหลายทางพันธุกรรม (Genetic diversity) แอกติโนแบคทีเรียมีความหลากหลายของแหล่งอาศัย (Habitat diversity, Ecological diversity) ตัวอย่างแหล่งอาศัยสำคัญที่พบการแพร่กระจายของแบคทีเรียกลุ่มนี้คือ ส่วนต่างๆของพืช ดินและตะกอนดินต่างๆ เป็นต้น [Reddy et al., 2009; Oliveira et al., 2010; Ros et al., 2010] ทั้งนี้ดินเป็นแหล่งอาศัยที่มีความหลากหลายของแอกติโนแบคทีเรียค่อนข้างสูง โดยยืนยันจากรายงานการวิจัยในช่วงทศวรรษที่ผ่านมาที่มีรายงานตีพิมพ์ในวารสารวิชาการในระดับนานาชาติ เช่น International Journal of Systematic and Evolutionary Microbiology, Antonie van Leeuwenhoek, FEMS Microbiology Ecology และ Current Microbiology เป็นต้น [Cho et al., 2008; Dastager et al., 2009; Chen et al., 2010; Kopecky et al., 2011] ทั้งนี้ดินในป่าไม้เขตร้อน เช่น ป่าไม้ในพื้นที่อนุรักษ์ของประเทศไทยที่กระจายตัวในอุทยานแห่งชาติและเขตรักษาพันธุ์สัตว์ป่า ได้รับการคาดหมายว่ามีความหลากหลายทางชีวภาพของจุลินทรีย์กลุ่มต่างๆ รวมทั้งแอกติโนแบคทีเรียในระดับสูง อย่างไรก็ตามการศึกษาวิจัยเกี่ยวกับความหลากหลายชนิด ความหลากหลายทางพันธุกรรม รวมทั้งชนิดและศักยภาพในการใช้ประโยชน์ของสารเมแทบอไลต์ที่ผลิตโดยเซลล์ของแอกติโนแบคทีเรียที่อาศัยในดินป่าไม้ในพื้นที่ป่าอนุรักษ์ของไทยมีรายงานค่อนข้างน้อย และจำกัด ดังนั้นการวิจัยภายใต้แผนงานที่นำเสนอจึงมุ่งเน้นในการศึกษาความหลากหลายชนิดของแอกติโนแบคทีเรียหรือจุลชีพอื่นในดินป่าไม้ของอุทยานแห่งชาติน้ำหนาว ซึ่งเป็นพื้นที่ที่มีความสมบูรณ์ของระบบนิเวศป่าไม้สูงมากแห่งหนึ่ง และแอกติโนแบคทีเรียที่อยู่ในดินหรือรากของพืชที่อยู่ใน จ.พิษณุโลก ประเทศไทย โดยใช้เทคนิคอนุกรมวิธานดั้งเดิมและสมัยใหม่ บูรณาการกับเทคนิคการศึกษาความสัมพันธ์เชิงวิวัฒนาการ ทำให้นำไปสู่การค้นพบแอกติโนแบคทีเรียหรือแบคทีเรียชนิดอื่นที่มีศักยภาพสูงในการสร้างสารออกฤทธิ์ทางชีวภาพที่มีความหลากหลายชนิด และมีประสิทธิภาพสูงในการยับยั้งเซลล์มะเร็ง รวมทั้งสรรสร้างให้เกิดองค์ความรู้พื้นฐานสำคัญในการศึกษาวิจัยต่อไปในอนาคตในด้านที่เกี่ยวข้อง เพื่อยังประโยชน์ด้านการแพทย์ และสาธารณสุขของไทย นำสู่ผลสัมฤทธิ์สูงสุดต่อคุณภาพทางสังคม ในการเพิ่มศักยภาพในการพึ่งตนเอง ความสามารถในการแข่งขันของประเทศ และการยกระดับคุณภาพชีวิตของประชาชนในประเทศไทย

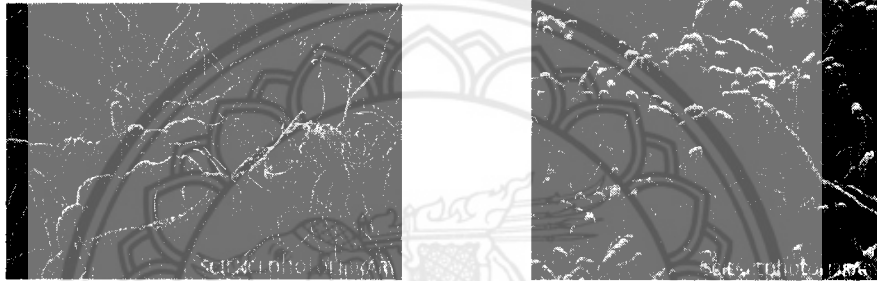
วัตถุประสงค์

เพื่อการแยกสกัดสารที่มีฤทธิ์ทางชีวภาพในปริมาณมาก จากแอกติโนแบคทีเรียที่คัดแยกจากดิน ซึ่งนำไปสู่การใช้ประโยชน์ในทางการแพทย์ การเกษตร และด้านอื่นๆ ในอนาคต

2. ทบพวนวรรณกรรมที่เกี่ยวข้อง

แอกติโนแบคทีเรีย (Actinobacteria)

แอกติโนแบคทีเรีย เป็นแบคทีเรียแกรมบวกที่มีปริมาณเบสกวานีนและไซโตซีน ในกรดนิวคลีอิกสูงกว่า 55 เปอร์เซ็นต์ พบได้ทั่วไปในแหล่งอาศัยธรรมชาติ เช่น ดิน (Glazer and Nikaido, 1994) ลักษณะทางสัณฐานวิทยาคล้ายเชื้อรา โดยมีเส้นใย (mycelium) แตกกิ่งก้าน และสามารถสร้างสปอร์แบบไม่อาศัยเพศ เรียกว่า conidiospore หรือ conidia ซึ่งเป็นสปอร์แบบไม่มีถุงหุ้ม ลักษณะเป็นเม็ดเดี่ยวๆ เรียงกันเป็นสาย และสปอร์แบบที่มีถุงหุ้ม เรียกว่า sporangiospore อยู่ในถุงหุ้มที่เรียกว่า sporangium แอกติโนแบคทีเรีย มีลักษณะทางสัณฐานวิทยาที่หลากหลายตั้งแต่ลักษณะเป็นทรงกลม ท่อน และเป็นเส้นสายคล้ายเชื้อรา รวมถึงโคโลนีของเชื้อมีลักษณะที่หลากหลาย โดยอาจพบโคโลนีมีสีแตกต่างกันขึ้นกับชนิดของรงควัตถุที่สร้างโดยแอกติโนแบคทีเรีย ต่างสายพันธุ์หรือชนิดกัน (Goodfellow and Brand, 1980) แสดงดังรูปที่ 1 และ รูปที่ 2



รูปที่ 1 ลักษณะสัณฐานวิทยาของแอกติโนแบคทีเรียชนิดต่างๆ ที่มา: www.sciencephoto.com/media/13158/view



รูปที่ 2 ลักษณะโคโลนีและสีของรงควัตถุของเซลล์แอกติโนแบคทีเรีย

ที่มา: <http://www.bacteriainphotos.com/Streptomyces%20colonies.jpg>

แอกติโนแบคทีเรีย ส่วนใหญ่เป็นแบคทีเรียที่ต้องการออกซิเจนในการเจริญ ยกเว้นบางชนิดที่ไม่ต้องการหรือต้องการออกซิเจนเพียงเล็กน้อยเพื่อการเจริญ ผนังเซลล์ประกอบด้วยชั้นของเปปติโดไกลแคน (peptidoglycan) กรดมิวรามิก (muramic acid) กรดไดอะมิโนไพเมริก (diaminopimelic acid) ซึ่งเป็นองค์ประกอบของผนังเซลล์แบคทีเรีย แต่ไม่มีส่วนของไคติน (chitin) และ เซลลูโลส (cellulose) ที่เป็นองค์ประกอบของผนังเซลล์เชื้อรา เมื่อพิจารณาองค์ประกอบทางเคมีที่เป็นส่วนประกอบหลักของผนังเซลล์ (major wall amino acid) และชนิดของน้ำตาลที่เป็นส่วนประกอบภายในเซลล์ทั้งหมด สามารถแบ่งผนังเซลล์ของแอกติโนแบคทีเรีย เป็น 4 ชนิด (ตารางที่ 1) และจัดแบบแผนน้ำตาลที่พบเป็นองค์ประกอบของผนังเซลล์ แอกติโนแบคทีเรีย โดยสรุปในตารางที่ 2

ตารางที่ 1 องค์ประกอบทางเคมีของผนังเซลล์แอกติโนแบคทีเรีย

| ชนิด | องค์ประกอบหลัก | กรดอะมิโนสำคัญที่พบ |
|------|--|---------------------|
| I | L-Diaminopimelic acid (L-DAP) | glycine |
| II | meso-Diaminopimelic acid (meso-DAP) | glycine |
| III | meso*-Diaminopimelic acid (meso-DAP or OH-DAP) | None |
| IV | meso-Diaminopimelic acid (meso-DAP) | None |

หมายเหตุ * อาจพบในรูปของ 3-hydroxy aminopimelic acid

ที่มา: Bergey's Manual of Systematic Bacteriology Volume 4 (William, 1989)

ตารางที่ 2 ชนิดและน้ำตาลที่พบเป็นองค์ประกอบของผนังเซลล์แอกติโนแบคทีเรีย

| ชนิด | น้ำตาลที่พบเป็นองค์ประกอบ |
|------|---------------------------|
| A | arabinose, galactose |
| B | madurose* |
| C | none |
| D | xylose, arabinose |

หมายเหตุ *madurose คือ 3-O-methyl-D-galactose

ที่มา: Bergey's Manual of Systematic Bacteriology Volume 4 (William, 1989)

แอกติโนแบคทีเรีย มีความสำคัญในระบบนิเวศ และมีบทบาทต่อความอุดมสมบูรณ์ของดิน โดยแอกติโนแบคทีเรีย มีความสามารถในการผลิตเอนไซม์ย่อยสลายสารชีวโมเลกุลขนาดใหญ่หลายชนิด เช่น เซลลูโลส ไคติน และลิกนิน เป็นต้น ทำให้เกิดการหมุนเวียนของแร่ธาตุในสิ่งแวดล้อม นอกจากนี้แอกติโนแบคทีเรีย สามารถผลิตสารออกฤทธิ์ชีวภาพที่มีประโยชน์ เช่น สารต้านจุลชีพ สารต้านมะเร็ง และวิตามินชนิดต่างๆ เป็นต้น (Berdy, 2005) สำหรับสารต้านจุลชีพที่มีใช้ในปัจจุบันประมาณสองในสามผลิตโดยแอกติโนแบคทีเรีย (Takizawa et al., 1993) ตัวอย่างสารต้านจุลชีพที่ได้จากแอกติโนแบคทีเรีย เช่น streptomycin, gentamycin และ rifamycin คิดเป็น 75 เปอร์เซ็นต์ของสารต้านจุลชีพ ที่ใช้รักษาโรคติดเชื้อในปัจจุบัน (Ningthoujam et al., 2009) อย่างไรก็ตามการศึกษาที่เกี่ยวข้องกับแอกติโนแบคทีเรีย ในระยะแรกๆ มักเป็นการศึกษาจากแหล่งอาศัยในระบบนิเวศบนบกเป็นส่วนใหญ่ จวบจนในช่วงทศวรรษที่ผ่านมาได้มีการศึกษาวิจัยเกี่ยวกับความหลากหลายชนิดของแอกติโนแบคทีเรีย ในแหล่งอาศัยตามธรรมชาติ โดยเฉพาะในระบบนิเวศทางทะเล และค้นพบสารออกฤทธิ์ทางชีวภาพชนิดใหม่ๆ อย่างต่อเนื่องจนถึงปัจจุบัน โดยนักวิทยาศาสตร์ในต่างประเทศ

การจัดจำแนกแอกติโนแบคทีเรีย (Classification of Actinobacteria)

การจัดจำแนกแอกติโนแบคทีเรีย โดยใช้ลักษณะทางสัณฐานวิทยา และองค์ประกอบทางเคมีของเซลล์ ตามหลักการใน Bergey's Manual of Systematic Bacteriology Volume 4 (William, 1989) แบ่งแอกติโนแบคทีเรียเป็น 8 กลุ่มได้แก่ *Nocardioforms*, *Actinomycetes with multilocular sporangia*, *Actinoplanetes*, *Streptomyces*, *Maduromycetes*, *Thermomonospora*, *Thermoactinomycetes* และกลุ่มที่ไม่สามารถจัดอยู่ในกลุ่มที่กล่าวมาทั้งหมด

1. *Nocardioforms*

เป็นแอกติโนแบคทีเรีย กลุ่มที่เส้นใยมีการแตกหักเป็นแบบแท่งหรือกลม บางสายพันธุ์มีการสร้างเส้นใยอากาศ (aerial mycelium) บางสายพันธุ์สร้างโคนิเดีย แอกติโนแบคทีเรียกลุ่มนี้ต้องการออกซิเจนในการเจริญ ยกเว้น *Oerskoviae* ซึ่งเป็นพวกที่ต้องการออกซิเจนเพียงเล็กน้อยในการเจริญ เชื้อในกลุ่มนี้ผนังเซลล์เป็นแบบที่หนึ่ง (I) (องค์ประกอบหลัก คือ L-DAP และ glycine) ในสกุล *Nocardia* และ *Rhodococcus* ผนังเซลล์มีกรดมัคโคลิก (mycolic acid) และมีแบบแผนน้ำตาลในเซลล์เป็นชนิด A (องค์ประกอบหลัก คือ arabinose และ galactose)

2. *Actinomycetes with multilocular sporangia*

เป็นแอกติโนแบคทีเรีย กลุ่มที่มีการสร้างผนังกันตามยาว และตามขวาง สร้างสปอร์ขนาดใหญ่ มีทั้งหมด 3 สกุล ได้แก่ *Dermatophilus*, *Geodermatophilus* และ *Frankia* โดยมีลักษณะแตกต่างกัน คือ *Geodermatophilus* มีเส้นใยย่างๆ ที่ยังไม่พัฒนามากนัก thallus ทั้งหมดสร้างเป็น sporangium ส่วน *Dermatophilus* เส้นใยจะมีการพัฒนามากขึ้น มีการสร้าง multilocular sporangium แบบยาว โดยทั้งสองสกุลสามารถสร้างสปอร์ที่เคลื่อนที่ได้ (motile spores) สำหรับสกุล *Frankia* สามารถตรึงก๊าซไนโตรเจนได้ในสภาพไมโครแอโรฟิลิก (microaerophilic condition) หรือสภาพที่มีออกซิเจนจำกัดมาก มีการสร้าง

sporangium และ เส้นใยบริเวณ intercalary swelling ตอนปลายหรือ lateral branches แอคติโนแบคทีเรียในกลุ่มนี้ไม่พบการสร้างเส้นใยอากาศ

3. *Actinoplanetes*

แอคติโนแบคทีเรียในกลุ่มนี้มี 5 สกุล ได้แก่ *Actinoplanes*, *Ampullariella*, *Pilimelia*, *Dactylosporangium* และ *Micromonospora* ส่วนใหญ่ดำรงชีวิตในแหล่งน้ำ เพราะเป็นกลุ่มที่สร้างสปอร์ที่สามารถเคลื่อนที่ได้ในน้ำในช่วงหนึ่งของวงจรชีวิต ยกเว้น *Micromonospora* สำหรับพวกที่สร้างสปอร์แบบเคลื่อนที่ได้ใน sporangia หรือ vesicle ซึ่งมีการพัฒนาที่ส่วนปลายของ sporangiophore มีทั้งขนาดสั้น และยาว สปอร์มักถูกสร้างอยู่ใน sporangium ที่ถูกปกคลุมไว้ด้วยกิ่งก้านที่แตกหัก หรือบางทีก็เป็นเส้นใยของ sporogenous hyphae ตรงหรือขดเป็นเกลียว ส่วนของ multispore sporangia มีหลายรูปร่าง โดยลักษณะสำคัญของแอคติโนแบคทีเรียกลุ่มนี้ คือ เจริญโดยไม่มีการแตกหัก มีการแตกกิ่งก้านแล้วสร้างสปอร์อยู่บนเส้นใยที่มีผนังกัน ผนังเซลล์เป็นแบบ III (องค์ประกอบหลัก คือ meso-DAP และ OH-DAP) และมีแบบแผนน้ำตาลในเซลล์เป็นชนิด D (องค์ประกอบหลัก คือ xylose และ arabinose) ในส่วนของ *Micromonospora* จะสร้างสปอร์แบบไม่เคลื่อนที่ เกิดขึ้นเดี่ยวๆ ไม่มีก้านหรือมีเพียงสั้นๆ มักอยู่รวมกันเป็นกลุ่ม มีลักษณะกลม รูปไข่หรือวงรี บางครั้งพบตุ่มหรือหนามที่ผิว

4. *Streptomycetes* และเชื้อในสกุลที่เกี่ยวข้อง

แอคติโนแบคทีเรีย กลุ่มนี้ประกอบด้วย 5 สกุล ได้แก่ *Streptomyces*, *Streptoverticillium*, *Kineosporia*, *Intrasporangium* และ *Sporichthya* ลักษณะสำคัญคือ เส้นใยอากาศ เป็นแบบไม่มีผนังกัน และเมื่อเจริญเต็มที่สร้างสปอร์เป็นลูกโซ่ มีจำนวนสปอร์ตั้งแต่ 3 สปอร์ขึ้นไป เช่น *Streptomyces* และ *Streptoverticillium* ส่วนในสกุล *Kineosporia*, *Intrasporangium* และ *Sporichthya* มีการสร้างสายใยอากาศน้อย หรืออาจไม่สร้าง และสปอร์มีลักษณะที่แตกต่างกันออกไป ลักษณะบริเวณผิวของโคโลนีมีลักษณะย่นเมื่อมีอายุมาก สปอร์ที่สร้างขึ้นบริเวณผิวหน้าของเส้นใยมีลักษณะเป็นฝุ่นผง เชื้อในกลุ่มนี้มี L-DAP ผนังเซลล์เป็นแบบ I และมีไกลซีนเป็นองค์ประกอบ

5. *Masuromycetes*

แอคติโนแบคทีเรียกลุ่มนี้มีทั้งสิ้น 7 สกุล ได้แก่ *Actinomadura*, *Microbispora*, *Microtetraspora*, *Planobispora*, *Planomonospora*, *Spirillospora* และ *Streptosporangium* ต้องการออกซิเจนในการเจริญ สร้างเส้นใยราบบที่มีการแตกแขนง ไม่มีสปอร์ แต่มีเส้นใยอากาศซึ่งมีการสร้าง arthrospore ที่มีลักษณะเป็นสายสั้น หรือใน sporangia ที่มีตั้งแต่หนึ่งถึงหลายสปอร์ โดยในสกุล *Microbispora* มีการสร้างสปอร์สายสั้นๆ แบบสองสปอร์ (disporous) ในสกุล *Actinomadura* มีการสร้างสปอร์แบบหลากหลาย ในบางสายพันธุ์มีการสร้างสปอร์ในอับสปอร์แบบเคลื่อนที่ได้ ได้แก่ *Planobispora*, *Planomonospora* และ *Spirillospora* ส่วนสายพันธุ์มีการสร้างสปอร์แบบเคลื่อนที่ไม่ได้ ได้แก่ *Streptosporangium* ผนังเซลล์ของเชื้อในกลุ่มนี้เป็นแบบ III (meso-DAP) น้ำตาลในเซลล์เป็นแบบ type B คือน้ำตาล 3-O-methyl-D-galactose (madurose)

6. Thermomonospora และสกุลที่ใกล้เคียง

แอกติโนแบคทีเรีย ในกลุ่มนี้มีทั้งสิ้น 4 สกุล ได้แก่ Thermomonospora, Actinosynnema, Nocardopsis และ Streptoalloterichus โดยพบว่า Thermomonospora สร้างสปอร์แบบเดี่ยว ส่วน Actinosynnema และ Nocardopsis สร้างสปอร์เป็นสาย และเชื้อในกลุ่มของ Streptoalloterichus สร้างสปอร์ภายในอับสปอร์ โดยเชื้อในกลุ่มนี้เป็นเชื้อที่ต้องการอากาศในการเจริญ และสร้างสปอร์อยู่บนเส้นใยที่แตกกิ่งก้านชูขึ้นในอากาศ ผนังเซลล์เป็นแบบ III (องค์ประกอบหลัก คือ meso-DAP) ไม่มีกรดมัยโคลิกในชั้นเปปติโดไกลแคน แต่มีฟอสโฟไลปิด (phospholipids) เมนาควิโนน (menaquinone, MK) และกรดไขมัน (fatty acids) ซึ่งเป็นองค์ประกอบในเซลล์ที่แตกต่างกัน ทำให้สามารถจัดกลุ่มได้เป็น 3 กลุ่ม ได้แก่ กลุ่มที่มี MK-9 (H4, H6 และ H8) เป็น isoprenologes เช่น T. sensu stricto, T. mesophila และกลุ่มสุดท้ายเป็นกลุ่มที่มี MK-10 (H6 และ H8) เป็น isoprenologes เช่น T. alba, T. fusa และ T. mesouviformis เป็นต้น

7. Thermoactinomycetes

แอกติโนแบคทีเรีย กลุ่มนี้มี Thermoactinomyces เพียงสกุลเดียว เป็นพวกที่เจริญได้ดีที่อุณหภูมิสูง สร้างสปอร์เดี่ยว ซึ่งเป็นเอนโดสปอร์อย่างแท้จริง ทนความร้อนได้ดี มีคุณสมบัติของเอนโดสปอร์ของแบคทีเรียครบถ้วน ปริมาณเบสกวานีนและไซโตซีนที่พบในกรดนิวคลีอิกต่ำกว่าพวกแอกติโนแบคทีเรียทั่วไป มีความสัมพันธ์ในสายวิวัฒนาการใกล้เคียงกับ Bacillus นอกจากนั้นแอกติโนแบคทีเรีย กลุ่มนี้มีการสร้างเส้นใยอากาศ โดย T. dichotomus มีสีเหลือง ส่วนชนิดอื่นเส้นใยอากาศมีสีขาว เป็นพวกต้องการออกซิเจนในการเจริญ และเป็นพวกที่ชอบย่อยสลายเศษซาก และเกือบทั้งหมดเป็นพวกที่ชอบเจริญในที่ที่มีอุณหภูมิสูง เจริญได้ไม่ดีที่อุณหภูมิต่ำกว่า 45 องศาเซลเซียส ผนังเซลล์เป็นแบบที่ III (องค์ประกอบหลัก คือ meso-DAP) แต่จะไม่มีลักษณะของน้ำตาลและกรดอะมิโน ส่วนเมนาควิโนนเป็นแบบไม่มีอิมตัว เช่น MK-7 หรือ MK-9 ในสปอร์มีกรดไดฟีโคลินิกเป็นองค์ประกอบ

8. แอกติโนแบคทีเรียกลุ่มอื่น

แอกติโนแบคทีเรีย กลุ่มนี้เป็นกลุ่มที่ยังหาความสัมพันธ์กับแอกติโนแบคทีเรียกลุ่มอื่นๆ ไม่ได้ ทำให้ไม่สามารถจัดเข้าอยู่ในกลุ่มอื่นได้ มี 4 สกุล ประกอบด้วย Glycomyces, Kibdelosporangium, Kitasatospora และ Saccharothrix โดยพบว่าทุกสกุลมีการสร้างสปอร์บนสายใยอากาศ

ตารางที่ 3 ลักษณะสำคัญของแอกติโนแบคทีเรีย 7 กลุ่ม

| กลุ่ม | ชนิดของผนังเซลล์ | แบบแผนของน้ำตาล | ปริมาณกัวนีนและไซโตซีน (%) | สปอร์แรงเจีย |
|------------------------|------------------|-----------------|----------------------------|--------------|
| Nocardioforms | I | A | 59-79 | - |
| Multilocular sporangia | III | B, C, D | 57-75 | +,- |
| Actinoplanetes | II | D | 71-73 | + |
| Streptomycetes | I | - | 69-78 | - |
| Maduromycetes | III | B, C | 64-74 | +,- |
| Thermomonospora | III | major C | 64-73 | - |
| Thermoactinomycetes | III | C | 52-55 | - |

ผู้วิจัยให้ความสำคัญกับวิธีการยับยั้งการเจริญของเซลล์มะเร็งที่มีความเป็นไปได้มาก และมีข้อได้เปรียบมากกว่าวิธีอื่นๆ คือการลดการ growth และ proliferation ที่จำเพาะที่ตัวเซลล์มะเร็ง โดยการลดการนำเข้าของ nutrients ซึ่งจำเป็นในการนำไปใช้การ growth และ proliferation ของเซลล์มะเร็ง โดยที่ไม่ส่งผลกระทบต่อเซลล์ปกติอื่นๆของร่างกาย หลักการของวิธีการนี้ มีข้อมูลที่สามารถอธิบายได้อย่างชัดเจน คือเนื่องจากเซลล์มะเร็งมีอัตราของขบวนการ aerobic glycolysis สูงกว่าเซลล์ปกติ ซึ่งเรียกปรากฏการณ์นี้ว่า "Warburg effect" ถูกค้นพบโดย Otto Warburg ในปี 1923 ลักษณะที่สำคัญของ Warburg effect ของเซลล์มะเร็งคือ มีการขนส่ง glucose เข้าเซลล์ และขบวนการ glucose consumption ในอัตราที่สูงกว่าเซลล์ปกติ แต่พบว่ามี lactate production ในอัตราที่สูงด้วย ถึงแม้ว่าเซลล์จะอยู่ในสถานะที่มีออกซิเจนเพียงพอ ในขบวนการ oxidative glucose consumption ก็ตาม (aerobic respiration) ซึ่งในเซลล์ปกติ การพบ lactate จะเกิดขึ้นในกรณี anerobic respiration หรือขาดออกซิเจน ปรากฏการณ์ Warburg effect นี้พบว่า mitochondria respiration ลดลง activity ของ enzyme glyceraldehyde-3-phosphate dehydrogenase เพิ่มขึ้น ซึ่งเป็น enzyme ที่ทำหน้าที่เปลี่ยน pyruvate เป็น lactate ซึ่งจะถูกขับออกจากเซลล์เข้าสู่กระแสเลือด ทำให้สิ่งแวดล้อมรอบๆเซลล์มะเร็งมีสภาพที่เป็นกรด นอกจากนี้ยังพบว่า activity ของ enzyme glycogen synthase ลดลง ซึ่งเป็น enzyme ที่ทำหน้าที่สร้าง glycogen จาก glucose และเซลล์มะเร็งจะมีอัตราของ lipogenesis ที่เกิดจาก de novo fatty acid synthesis (endogenous fatty acid synthesis) สูงมากกว่าเซลล์ปกติซึ่งมีค่อนข้างต่ำ ในเซลล์ปกติจะมีการสร้าง lipid จากอาหาร (dietary หรือ exogenous lipid) และจะมี de novo fatty acid ที่ค่อนข้างต่ำ การที่เซลล์มะเร็งมี de novo fatty acid synthesis ที่สูง ก็เพื่อใช้ในการสร้าง cell membrane และส่วนประกอบต่างๆของ cell membrane ซึ่งได้แก่ phospholipids, cholesterol, sphingolipids และ lipid rafts ส่วนประกอบต่างๆเหล่านี้รวมเรียกว่า microdomains ซึ่งมีความสำคัญ คือเกี่ยวข้องกับขบวนการ signal transduction, intracellular

trafficking, cell polarization และ cell migration เป็นต้น ขบวนการ de novo fatty acid ในเซลล์มะเร็งมีลักษณะที่สำคัญที่แตกต่างจากเซลล์ปกติ คือ ต้องอาศัยสารตั้งต้นภายในเซลล์คือ citrate รวมทั้งการมี lipogenic enzyme expression และ activity ที่เพิ่มขึ้น citrate ซึ่งเป็น key intermediate ในขบวนการ catabolism และ anabolism ของ eukaryotic cells มีแหล่งที่มาทั้งในเซลล์เองและนอกเซลล์ แหล่งที่มาภายในเซลล์ citrate จะถูกสร้างและเก็บอยู่ใน mitochondrial matrix และใช้ในขบวนการ citric acid cycle ในเวลาที่เซลล์ต้องการ energy citrate จะถูก oxidize ได้เป็น NADH และ FADH₂ รวมทั้ง ATP แต่เมื่อเวลาที่เซลล์อยู่ในช่วง excess energy citrate จะถูก transport ออกจาก mitochondrial matrix ผ่าน inner mitochondrial membrane โดย mitochondrial citrate transport protein (CTP) และจะผ่าน outer membrane โดย anion selective channel ออกสู่ cytoplasm lipogenic enzyme ที่มีบทบาทสำคัญในขบวนการ de novo fatty acid synthesis คือ ATP citrate lyase (ACL) , acetyl-CoA carboxylase (ACC) และ fatty acid synthase (FASN) ACL จะทำหน้าที่เปลี่ยน cytosolic citrate ให้เป็น acetyl CoA และ oxaloacetate ซึ่ง acetyl CoA จะเป็นแหล่ง immediate carbon source ในการสร้าง fatty acid , triglyceride และ cholesterol acetyl-CoA ส่วน ACC ทำหน้าที่ในการสร้าง malonyl-CoA จาก acetyl CoA และ FASN ทำหน้าที่สร้าง long chain fatty acid

มีงานวิจัยที่ยับยั้ง enzymes ที่ใช้ในขบวนการ de novo fatty acid synthesis รายงานถึงการลดลงของ fatty acid ภายในเซลล์มะเร็ง ซึ่งส่งผลลด cell proliferation การสูญเสีย cell viability และลด tumor size ซึ่งในขณะที่การยับยั้ง lipid biosynthesis นี้ไม่ส่งผลกระทบต่อทั้ง cell proliferation และ viability ของเซลล์ปกติ นอกจากผลที่กล่าวมาแล้ว การยับยั้ง de novo fatty acid synthesis ยังมีประสิทธิภาพในการลดการเกิด metastasis ด้วย เนื่องจาก metastasis เกิดจากการที่เซลล์มะเร็งเคลื่อนที่จาก primary tumor เข้าสู่กระแสเลือด และเดินทางไปยังอวัยวะต่างๆ metastasis ถือว่าเป็นสาเหตุหลักของการเสียชีวิตในผู้ป่วยมะเร็ง ดังนั้นการยับยั้ง de novo fatty acid synthesis สามารถเกิดขึ้นได้กับเซลล์มะเร็งทุกเซลล์ทั้งที่ primary tumor และที่ metastasis tissue อีกทั้งยังเป็นวิธีการที่มีความจำเพาะสูงในการยับยั้งการ growth , proliferation และการ metastasis ของเซลล์มะเร็งเท่านั้นโดยไม่มีผลต่อเซลล์ปกติอื่นๆของร่างกาย นอกจาก enzyme ACL, ACC และ FASN แล้ว carnitine palmitoyltransferase-1 (CTP-1) ซึ่งควบคุม mitochondrial fatty acid oxidation ยังเป็น enzyme ที่ต้องคำนึงถึง เนื่องจากการศึกษา anticancer drugs หลายๆชนิดพบว่า มีผลข้างเคียงคือเกิด anorexia และ body weight loss เนื่องจากการกระตุ้น CTP-1 ดังนั้นการวิจัยที่พยายามหาสารที่มีคุณสมบัติในการยับยั้ง de novo fatty acid synthesis โดยไม่มีผลต่อ CTP-1 จึงเป็นวิธีที่มีประสิทธิภาพมากที่สุดอีกวิธีหนึ่งในการรักษามะเร็ง และนำไปสู่การทดลองใช้ในสัตว์ทดลอง ทั้งด้านการรักษา ป้องกันมะเร็ง และยับยั้งการ metastasis ของมะเร็ง ซึ่งสามารถพัฒนาไปสู่การสร้างยาที่ใช้กับมนุษย์ได้ในอนาคตแทนการใช้ chemotherapy

3. ระเบียบวิธีวิจัย

3.1 เชื้อแบคทีเรียที่ใช้ในการวิจัย

แบคทีเรียที่ใช้ในการวิจัยประกอบด้วย

1. เชื้อแบคทีเรียแยกได้จากดินในพื้นที่ป่าอนุรักษ์ เขตอุทยานแห่งชาติน้ำหนาว ประเทศไทย จำนวน 2 ไอโซเลท ได้แก่ ไอโซเลท S1 และ ไอโซเลท S2 โดยได้รับความอนุเคราะห์จาก ผศ.ดร.ธวัชชัย สุ่มประดิษฐ์
2. เชื้อแอคติโนแบคทีเรีย 12 ไอโซเลท ที่แยกได้จากตัวอย่างดิน และรากพืช ดังแสดงในตารางที่ 4 โดยได้รับความอนุเคราะห์จาก ผศ.ดร.นารัตน์กษณ์ นาแก้ว ภาควิชาจุลชีววิทยาและปรสิตวิทยา คณะวิทยาศาสตร์การแพทย์ มหาวิทยาลัยนครสวรรค์

ตารางที่ 4 เชื้อแอคติโนแบคทีเรียที่แยกได้จากตัวอย่างดิน และพืช

| ไอโซเลท | แยกได้จาก |
|---------|--|
| JPN 2 | ดินรอบรากขิงที่ปลูกใน อ.บางกระท่อม จ. พิษณุโลก |
| LPL 6 | ดินรอบรากขิงที่ปลูกใน อ.บางกระท่อม จ. พิษณุโลก |
| HML 2 | ดินรอบรากขิงที่ปลูกใน อ.บางกระท่อม จ. พิษณุโลก |
| Zin 13 | รากของข้าว ที่ปลูกใน อ. บางระกำ จ.พิษณุโลก |
| Al 08 | รากของข้าว ที่ปลูกใน อ. บางระกำ จ.พิษณุโลก |
| Zin05 | รากของข้าว ที่ปลูกใน อ. บางระกำ จ.พิษณุโลก |
| Tm 32 | รากของข้าว ที่ปลูกใน อ. บางระกำ จ.พิษณุโลก |
| AIP 03 | รากของข้าว ที่ปลูกใน อ. บางระกำ จ.พิษณุโลก |
| B 14 | รากของข้าว ที่ปลูกใน อ. บางระกำ จ.พิษณุโลก |
| Bar 14 | รากของข้าว ที่ปลูกใน อ. บางระกำ จ.พิษณุโลก |
| Bor 09 | รากของข้าว ที่ปลูกใน อ. บางระกำ จ.พิษณุโลก |
| B 19 | รากของข้าว ที่ปลูกใน อ. บางระกำ จ.พิษณุโลก |

3.2 การจัดจำแนกชนิดของแบคทีเรีย

3.2.1 การจัดจำแนกชนิดเชื้อแบคทีเรียที่แยกได้จากดินในพื้นที่ป่าอนุรักษ์ เขตอุทยานแห่งชาติน้ำหนาว

ศึกษาลักษณะทางสัณฐานวิทยาโดยดูลักษณะการเจริญบนอาหารเลี้ยงเชื้อ และการย้อมสีแบบแกรม ศึกษาลักษณะรูปร่างและการจัดเรียงตัวของเซลล์ การสร้างเอนโดสปอร์ และวิเคราะห์ลำดับเบสในบริเวณ 16S rRNA ยีนที่ศูนย์พันธุวิศวกรรมและเทคโนโลยีชีวภาพแห่งชาติ (BIOTEC) ตรวจสอบความถูกต้องของ Chromatograms ด้วยโปรแกรม Bioedit โดยการนำลำดับนิวคลีโอไทด์ที่ได้เทียบเคียงกับลำดับนิวคลีโอไทด์ของแบคทีเรียในฐานข้อมูลที่มีอยู่ใน NCBI (<http://blast.ncbi.nlm.nih.gov/Blast.cgi>) ด้วยวิธี BLASTN search เพื่อตรวจสอบความเหมือนกัน (identity) ของลำดับ นิวคลีโอไทด์

3.2.2 การจัดจำแนกชนิดของแอกติโนแบคทีเรียทั้ง 12 ไอโซเลท

3.2.2.1 การศึกษาลักษณะทางสัณฐานวิทยาภายใต้กล้องจุลทรรศน์

การศึกษาลักษณะของสปอร์ภายใต้กล้องจุลทรรศน์ด้วยเทคนิค *incline slide culture* โดยการขีดเชื้อให้เป็นช่องตาราง (cross-hatch) บนอาหารเลี้ยงเชื้อ HT Agar แล้วฝังแผ่นกระจกปิดสไลด์ (cover slips) ลงไปบนบริเวณรอยขีดของเชื้อ โดยให้แผ่นกระจกปิดสไลด์เอียงทำมุม 30- 40 องศา หลังจากให้อุณหภูมิ 30 องศาเซลเซียสจนเชื้อสร้างสปอร์ แล้วค่อยๆดึงแผ่นกระจกปิดสไลด์ที่มีเชื้อแอกติโนแบคทีเรียเจริญติดอยู่ มาทำการย้อมสีแบบ simple stain โดยใช้สี crystal violet ตรวจสอบดูลักษณะการสร้างสปอร์ ภายใต้กล้องจุลทรรศน์กำลังขยาย 1,000 เท่า โดยเปรียบเทียบกับลักษณะต่างๆ ตามเอกสารของ Whitman, et al., (2012) เพื่อจัดจำแนกชนิดของแอกติโนแบคทีเรียเบื้องต้น

3.2.2.2 การวิเคราะห์ลำดับเบสของยีน 16S rRNA

การวิเคราะห์ลำดับเบสของยีน 16S rRNA โดยดำเนินการส่งเชื้อที่ได้ ไปวิเคราะห์ยังบริษัท MacroGen Inc. Service ที่ประเทศเกาหลีใต้ ตรวจสอบความถูกต้องของ Chrommatograms ด้วยโปรแกรม BioEdit โดยการนำลำดับนิวคลีโอไทด์ที่ได้เทียบเคียงกันกับลำดับนิวคลีโอไทด์ของแอกติโนแบคทีเรียในฐานข้อมูลที่มีอยู่ใน NCBI <http://blast.ncbi.nlm.nih.gov/Blast.cgi> ด้วยวิธี BLASTN search เพื่อตรวจสอบความเหมือน (identity) ของลำดับนิวคลีโอไทด์ ศึกษาสายพันธุ์ทางวิวัฒนาการ (Phylogenetic tree) ของแอกติโนแบคทีเรียโดยการสร้างสายสัมพันธ์ทางวิวัฒนาการโดยใช้โปรแกรม MEGA version 7.0 (Tamura et al., 2011) ตวนโนลด์ลำดับนิวคลีโอไทด์ของ 16S rRNA ของสายพันธุ์ที่ใกล้เคียงกับเชื้อแอกติโนแบคทีเรียที่แยกได้ เพื่อนำมาเทียบเคียงกัน ด้วยวิธี multiple sequences alignment ด้วยการใส่โปรแกรม Clustal W version 7.0 (Higgins et al., 1994) แก่ลำดับนิวคลีโอไทด์ด้วยการตัดบางส่วนออก (Trim) จากนั้นใช้ลำดับนิวคลีโอไทด์จำนวนประมาณ 1000 เบส ของยีน 16S rRNA ในการสร้างสายสัมพันธ์ทางวิวัฒนาการด้วย Neighbor-Joining tree (Bootstrap 1000 ครั้ง)

3.3 การเพาะเลี้ยงเชื้อแบคทีเรียไอโซเลท S1 และ S2 และแอกติโนแบคทีเรียเพื่อนำมาสกัดสาร

3.3.1 การเพาะเลี้ยงเชื้อแบคทีเรียไอโซเลท S1 และ S2 จากดินในพื้นที่ป่าอนุรักษ์ เขตอุทยานแห่งชาติน้ำหนาว

นำเชื้อบริสุทธิ์ของแบคทีเรียไอโซเลท S1 และ S2 มาเพาะเลี้ยงลงในอาหารเลี้ยงเชื้อเหลว 2 ชนิด คือ Glucose yeast peptone broth medium (F1) และ Yeast extract peptone dextrose agar (F2) ปริมาตร 50 มิลลิลิตรในขวดรูปชมพู่ขนาด 250 มิลลิลิตร บ่มบนเครื่องเขย่าที่อุณหภูมิ 27 องศาเซลเซียส เป็นเวลา 24 ชั่วโมง นำน้ำเลี้ยงที่ได้ 1 มิลลิลิตร ใส่ในอาหารเลี้ยงเชื้อปริมาณ 250 มิลลิลิตร ในขวดรูปชมพู่ขนาด 500 มิลลิลิตร ทำการเพาะเลี้ยงที่อุณหภูมิ 27 องศาเซลเซียส เขย่าที่ความเร็วรอบ 180 รอบต่อนาที เก็บตัวอย่างในวันที่ 7 และ วันที่ 15 เพื่อนำมาทดสอบการสร้างสารทุติยภูมิที่ได้จากเชื้อ

3.3.2 การเพาะเลี้ยงเชื้อแอกติโนแบคทีเรีย

นำเชื้อบริสุทธิ์ของแอกติโนแบคทีเรียมาทำการเพาะเลี้ยงบนอาหาร Hickey-Tresner Agar (HT agar) บ่มที่อุณหภูมิ 30 องศาเซลเซียสเป็นเวลา 7 วัน จากนั้นใช้ cork borer ขนาดเส้นผ่านศูนย์กลาง 5 มิลลิเมตร เจาะลงบนอาหารบริเวณที่มีเชื้อเจริญ นำชิ้นวุ้นที่มีเชื้อเจริญ จำนวน 5 ชิ้น ใส่ลงในอาหาร International Streptomyces Project Medium- 2 (ISP2 broth) pH 7 ปริมาณ 200 มิลลิลิตร ในขวดรูป

มาตรฐาน gallic acid จากกราฟมาตรฐาน แสดงผลเป็นปริมาณของ total phenolic content ในหน่วย mg gallic acid equivalent/ g extract

3.4.2 Total Flavonoids content

การหาปริมาณสารกลุ่มฟลาโวนอยด์ในสารสกัดโดยใช้หลักการเกิดสีจากปฏิกิริยาระหว่าง 2% $AlCl_3$ solution และสารกลุ่มฟลาโวนอยด์ ซึ่งหากสารสกัดมีสารประกอบกลุ่มฟลาโวนอยด์ จะให้ค่าดูดกลืนแสงที่ความยาวคลื่น 415 nm โดยเทียบกับสารมาตรฐาน rutin มีวิธีการทดสอบดังต่อไปนี้

3.4.2.1 การเตรียม stock solution ของสารต่าง ๆ

1. การเตรียม stock solution ของสารตัวอย่าง ซึ่งสารตัวอย่าง 5 mg เติม ethanol:water สัดส่วน 1:1 จนครบปริมาตร 5 ml (ได้ความเข้มข้นของ stock solution ของสารตัวอย่าง คือ 1 mg/ml หรือ 1 μ g/ μ l)

2. การเตรียม 2% $AlCl_3$ solution โดยชั่ง $AlCl_3$ 2 กรัม แล้วเติม methanol จนครบปริมาตร 100 ml

3.4.2.2 การทำ calibration curve ของสารมาตรฐาน rutin

เตรียมสารละลายมาตรฐาน rutin ความเข้มข้น 1 mg/ml ใน ethanol:water สัดส่วน 1:1 ให้มี rutin ในปริมาณ 0-100 μ g ใน 1 ml เติม 2% $AlCl_3$ solution ปริมาตร 1 ml (ได้ความเข้มข้น 0, 2.5, 5.0, 10.0, 25.0 และ 50.0 μ g/ml ตามลำดับ) รอทำปฏิกิริยาที่อุณหภูมิห้องเป็นเวลา 25 นาที นำไปวัดค่าดูดกลืนแสงโดยใช้เครื่อง UV-visible spectrophotometer ที่ความยาวคลื่น 415 nm

3.4.2.3 การหาปริมาณสารกลุ่มฟลาโวนอยด์ในสารสกัดเทียบกับสารมาตรฐาน rutin

นำสารสกัดเข้มข้น 1 mg/ml ปริมาตร 1 ml มาเติม 2% $AlCl_3$ solution 1 ml ทำปฏิกิริยาที่อุณหภูมิห้องเป็นเวลา 25 นาที นำไปวัดค่าดูดกลืนแสงโดยใช้เครื่อง UV-visible spectrophotometer ที่ความยาวคลื่น 415 nm คำนวณกลับหาปริมาณสารกลุ่มฟลาโวนอยด์โดยเทียบกับสารมาตรฐาน rutin จากกราฟมาตรฐาน แสดงผลเป็นปริมาณของ total flavonoid content ในหน่วย mg rutin equivalent/ g extract

3.4.3 Total alkaloids content

การหาปริมาณสารกลุ่มอัลคาลอยด์ในสารสกัดโดยใช้หลักการเกิดสีจากปฏิกิริยาระหว่าง bromocresol green (BCG) และสารกลุ่มอัลคาลอยด์ ซึ่งหากสารสกัดมีสารประกอบกลุ่มอัลคาลอยด์ เมื่อนำมาสกัดด้วยคลอโรฟอร์มจะให้สารละลายสีเหลืองในชั้นคลอโรฟอร์มเมื่อปรับ pH ของสารละลายเป็น 4.7 โดย reaction mixture ดังกล่าวจะให้ค่าดูดกลืนแสงที่ความยาวคลื่น 415 nm เทียบกับสารอัลคาลอยด์มาตรฐานคือ berberine chloride มีวิธีการทดสอบดังต่อไปนี้

3.4.3.1 การเตรียม stock solution ต่าง ๆ ที่ใช้ในการทดสอบ

1. การเตรียม stock solution ของสารตัวอย่าง โดยชั่งตัวอย่าง 0.5 mg แล้วเติมน้ำกลั่นจนครบปริมาตร 5 ml (ได้ความเข้มข้นของ Stock solution ของสารตัวอย่าง คือ 0.1 mg/ml หรือ 0.1 μ g/ μ l)

2. การเตรียม Phosphate buffer solution (pH 4.7) โดยปรับ pH ด้วย 2 M Sodium Phosphate (Na_2HPO_4) และ 0.2 M citric acid

- 2 M Sodium Phosphate เตรียมโดยชั่ง Sodium Phosphate (Na_2HPO_4) 7.16 กรัม แล้วเติมน้ำจนครบปริมาตร 100 ml

- 0.2 M Citric acid เตรียมโดยชั่ง Citric acid 3.84 กรัม เติมน้ำจนครบปริมาตร 100 ml

3. การเตรียม Bromocresol green solution โดยนำ BCG 6.98 mg ให้ความร้อน $50-60^\circ\text{C}$ ผสมกับ 2 N sodium hydroxide 3 ml แล้วเติมน้ำจนครบปริมาตร 100 ml (เก็บให้พ้นแสง เตรียมใช้ทันที)

- 2 N Sodium Hydroxide เตรียมโดยชั่ง Sodium Hydroxide 1.6 กรัม เติมน้ำจนครบปริมาตร 20 ml

3.4.3.2 การทำ Calibration curve ของสารมาตรฐาน berberine chloride

เตรียม สารละลายมาตรฐาน BCG โดยมีปริมาณ BCG 2, 5, 10, 15 และ 20 μg ในน้ำ ปริมาตรรวม 1 ml (ได้ความเข้มข้นของ reaction mixture เป็น 0.40, 1.00, 2.00, 3.00 และ 4.00 $\mu\text{g}/\text{ml}$ ตามลำดับ) เติม phosphate buffer solution (pH 4.7) ขวดละ 2 ml เติม bromocresol green solution ขวดละ 2 ml นำไปสกัดด้วยคลอโรฟอร์ม 5 ml โดยใช้ vortex ในการเขย่าเป็นเวลา 1 นาที ดูดเอาชั้น คลอโรฟอร์ม (ชั้นล่าง) ไปวัดค่าดูดกลืนแสง โดยใช้เครื่อง UV-visible spectrophotometer ที่ความยาวคลื่น 415 nm

3.4.3.3 การหาปริมาณสารกลุ่มอัลคาลอยด์ในสารสกัดเทียบกับสารมาตรฐาน berberine chloride

นำ Stock solution ของสารตัวอย่างใส่ในหลอดทดลองมีฝาปิด โดยดูมา 300 μl เติม Phosphate buffer solution (pH 4.7) 600 μl เติม Bromocresol green (BCG) solution 600 μl นำไป สกัดด้วยคลอโรฟอร์ม 2.5 ml โดยใช้ vortex ในการเขย่าเป็นเวลา 1 นาที ดูดเอาชั้นคลอโรฟอร์ม (ชั้นล่าง) ไปวัดค่าดูดกลืนแสง โดยใช้เครื่อง uv-visible spectrophotometer ที่ความยาวคลื่น 415 nm คำนวณกลับ หาปริมาณสารกลุ่มอัลคาลอยด์โดยเทียบกับสารมาตรฐาน berberine chloride จากกราฟมาตรฐาน แสดงผล เป็นปริมาณของ total alkaloids content ในหน่วย mg berberine chloride equivalent/ g extract

3.4.4 Total triterpenoids content

การหาปริมาณสารกลุ่มไตรเทอเพนอยด์ในสารสกัดโดยใช้หลักการเกิดสีจากปฏิกิริยาระหว่าง Vanillin-acetic solution และสารกลุ่มไตรเทอเพนอยด์ ซึ่งหากสารสกัดมีสารประกอบกลุ่มไตรเทอเพนอยด์ จะให้ค่าดูดกลืนแสงที่ความยาวคลื่น 573 nm โดยสารมาตรฐานคือ ursolic acid มีวิธีการทดสอบดังต่อไปนี้

3.4.4.1 การเตรียม Stock solution ต่าง ๆ ที่ใช้ในการทดสอบ

1. การเตรียม stock solution ของสารตัวอย่าง โดยชั่งสารตัวอย่าง 2 mg เติม acetic acidจนครบปริมาตร 2 ml (ได้ความเข้มข้นของ Stock solution ของสารตัวอย่าง คือ 1 mg/ml หรือ 1 $\mu\text{g}/\mu\text{l}$)

2. การเตรียม 5% vanillin-acetic solution (ในการทดสอบจะใช้ freshly preparation) โดยชั่ง vanillin 5 กรัม แล้วเติม acetic acid จนครบปริมาตร 100 ml

5.4.4.2 การทำ calibration curve ของสารมาตรฐาน ursolic acid

เตรียม สารละลายมาตรฐานของ ursolic acid ความเข้มข้น 1 mg/ml ให้มีปริมาณ ursolic acid 0, 2, 4, 8, 20 และ 40 µg ตามลำดับ เติม acetic acid จนครบปริมาตร 100 µl เติม 5% vanillin-acetic solution 200 µl (ได้ความเข้มข้นของ reaction mixture 0, 2, 4, 8, 20 และ 40.0 µg/ml ตามลำดับ) เติม sulfuric acid 400 µl แล้วนำไป incubated ที่ 70 °C นาน 30 นาที หลังจากนั้น เติม acetic acid 300 µl นำไปวัดค่าดูดกลืนแสงโดยใช้เครื่อง UV-visible spectrophotometer ที่ความยาวคลื่น 573 nm

3.4.4.3 การหาปริมาณสารกลุ่มไตรเทอพีนอยด์ในสารสกัดเทียบกับสารมาตรฐาน ursolic acid

นำ Stock solution ของสารตัวอย่างใส่ในขวดแก้วมีฝา 100 µl เติม 5% vanillin-acetic solution 200 µl เติม sulfuric acid 400 µl incubated ที่อุณหภูมิ 70°C รอทำปฏิกิริยาเป็นเวลา 30 นาที เติม acetic acid 300 µl นำไปวัดค่าดูดกลืนแสงโดยใช้เครื่อง uv-visible spectrophotometer ที่ความยาวคลื่น 573 nm คำนวณกลับหาปริมาณสารกลุ่มไตรเทอพีนอยด์โดยเทียบกับสารมาตรฐาน ursolic acid จากกราฟมาตรฐาน แสดงผลเป็นปริมาณของ total triterpenoid content ในหน่วย mg ursolic acid equivalent/ g extract

3.4.5 Total cardiac glycoside content

การหาปริมาณสารกลุ่มอัลคาลอยด์ในสารสกัดโดยใช้หลักการเกิดสีจากปฏิกิริยาระหว่าง Baljet's reagent และสารกลุ่มคาร์ดิแอกไกลโคไซด์ ซึ่งหากสารสกัดมีสารประกอบกลุ่มคาร์ดิแอกไกลโคไซด์ จะให้ค่าดูดกลืนแสงที่ความยาวคลื่น 495 nm โดยใช้ digoxin เป็นสารมาตรฐาน มีวิธีการทดสอบดังต่อไปนี้

3.4.5.1 การเตรียม Stock solution ต่าง ๆ ที่ใช้ในการทดสอบ

1. การเตรียม stock solution ของสารตัวอย่าง โดยชั่งตัวอย่าง 1 mg เติม ethanol:water สัดส่วน 1:1 จนครบปริมาตร 1 ml (ได้ความเข้มข้นของ stock solution ของสารตัวอย่าง คือ 1 mg/ml หรือ 1 µg/µl)

2. การเตรียม Baljet's reagent (ในการทดสอบจะใช้ freshly preparation) โดยนำ picric acid solution 95 ml ผสมกับ 10% NaOH 5 ml

- Picric acid solution เตรียมโดยชั่ง Picric acid 1 กรัม แล้วปรับด้วยน้ำกลั่นจนครบ ปริมาตร 100 ml

- 10% NaOH เตรียมโดยชั่ง NaOH 10 กรัม แล้วปรับด้วยน้ำกลั่นจนครบปริมาตร 100 ml

3.4.5.2 การทำ calibration curve ของสารมาตรฐาน digoxin

นำสารละลายมาตรฐาน digoxin ความเข้มข้น 1 mg/ml ให้มี digoxin 0, 20, 50, 100, 150 และ 200 µg ตามลำดับ ปรับปริมาตรด้วย ethanol:water สัดส่วน 1:1 จนครบปริมาตร 1 ml เติม Baljet's reagent ขวดละ 1 ml ทำปฏิกิริยาที่อุณหภูมิห้องเป็นเวลา 1 ชั่วโมง เติมน้ำกลั่นขวดละ 2 ml (ได้ความเข้มข้น 0, 5, 12.5, 25, 37.5 และ 50 µg/ml ตามลำดับ) นำไปวัดค่าดูดกลืนแสงโดยใช้เครื่อง UV-visible spectrophotometer ที่ความยาวคลื่น 495 nm

3.4.5.3 การหาปริมาณสารกลุ่มคาร์ดิแอกไกลโคไซด์ ในสารสกัดเทียบกับสารมาตรฐาน digoxin

นำ stock solution ของสารตัวอย่างใส่ในขวดแก้วมีฝา 200 μ l เติม Baljet's reagent ขวดละ 200 μ l ทำปฏิกิริยาที่อุณหภูมิห้องเป็นเวลา 1 ชั่วโมง เติมน้ำกลั่นขวดละ 400 μ l นำไปวัดค่าดูดกลืนแสงโดยใช้เครื่อง UV-visible spectrophotometer ที่ความยาวคลื่น 495 nm คำนวณกลับหาปริมาณสารกลุ่มคาร์ดิแอกไกลโคไซด์โดยเทียบกับสารมาตรฐาน digoxin จากกราฟมาตรฐาน แสดงผลเป็นปริมาณของ total cardiac glycoside content ในหน่วย mg digoxin equivalent/ g extract

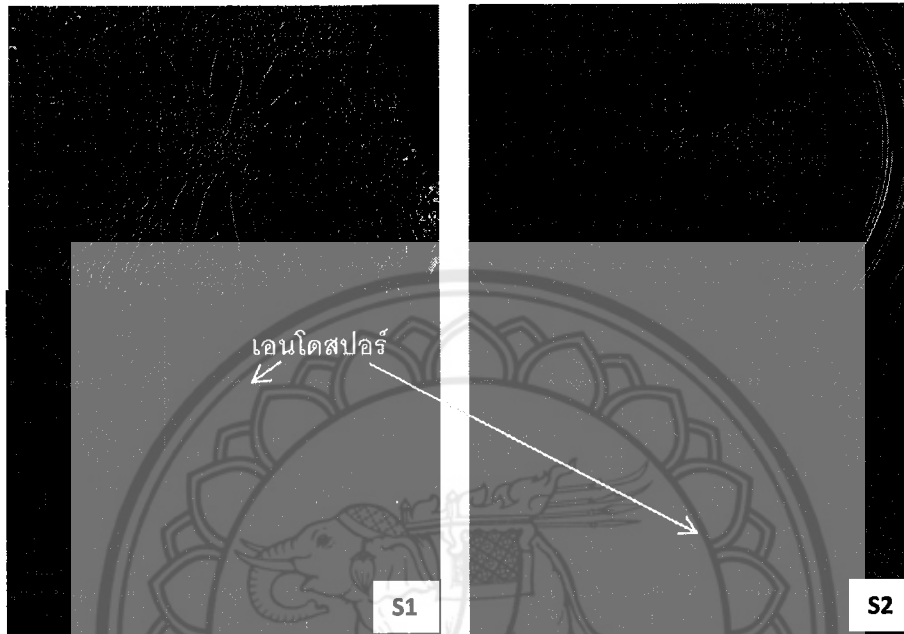


4. ผลการวิจัยและการวิเคราะห์ผลการวิจัย

4.1 การจัดจำแนกชนิดเชื้อแบคทีเรียไอโซเลท S1 และ S2

4.1.1 การศึกษาลักษณะทางสัณฐานวิทยา

ผลการศึกษาลักษณะทางสัณฐานวิทยาพบว่า ไอโซเลท S1 และ S2 เมื่อเจริญบนอาหาร NA พบว่ามีโคโลนีสีขาวครีม ไม่พบการสร้าง pigment การศึกษาลักษณะภายใต้กล้องจุลทรรศน์โดยการย้อมสีแบบแกรมพบว่า ไอโซเลท S1 และ S2 เป็นแบคทีเรียแกรมบวก รูปท่อน มีการสร้างเอนโดสปอร์ดังรูป 3



รูปที่ 3 ลักษณะทางสัณฐานวิทยาของไอโซเลท S1 และ S2

4.1.2 การวิเคราะห์ลำดับเบสในบริเวณ 16S rRNA ยีน

ผลการวิเคราะห์ลำดับเบสในบริเวณ 16S rRNA ยีนของเชื้อแบคทีเรียที่แยกได้จากดินในพื้นที่ป่าอนุรักษ์เขตอุทยานแห่งชาติน้ำหนาวพบว่าได้ลำดับเบสดังนี้

ลำดับเบสของแบคทีเรียสายพันธุ์ S1

```
CAGGACGAACGCTGGCGGCGTGCCTAATACATGCAAGTCGAGCGGACAGATGGGAGCTTGCTCCC
TGATGTTAGCGGCGGACGGGTGAGTAACACGTGGGTAACCTGCCTGTAAGACTGGGATAACTCCGGGAAA
CCGGGGCTAATACCGGATGGTTGTTTGAACCGCATGGTTCAAACATAAAAAGGTGGCTTCGGCTACCACTTA
CAGATGGACCCGCGGCGCATTAGCTAGTTGGTGAGGTAACGGCTCACCAAGGCAACGATGCGTAGCCGAC
CTGAGAGGGTGATCGGCCACACTGGGACTGAGACACGGCCCAGACTCCTACGGGAGGCAGCAGTAGGGAA
TCTTCCGCAATGGACGAAAGTCTGACGGAGCAACGCCGCGTGAGTGATGAAGTTTTTCGGATCGTAAAGCT
CTGTTGTTAGGGAAGAACAAGTACCGTTCGAATAGGGCGGTACCTTGACGGTACCTAACCCAGAAAGCCACG
GCTAACTACGTGCCAGCAGCCGCGTAATACGTAGGTGGCAAGCGTTGTCCGGAATTATTGGGCGTAAAGG
GCTCGCAGGCGTTTTCTTAAGTCTGATGTGAAAGCCCCGGCTCAACCGGGGAGGGTCATTGGAAACTGG
GGAACCTTGAGTGCAGAAGAGGAGAGTGGAAATCCACGTGTAGCGGTGAAATGCGTAGAGATGTGGAGGAA
CACCAGTGGCGAAGGCGACTCTCTGGTCTGTAACCTGACGCTGAGGAGCGAAAGCGTGGGGAGCGAACAGG
```

ATTAGATACCCTGGTAGTCCACGCCGTAACGATGAGTGCTAAGTGTAGGGGGTTCCGCCCTTAGTGC
TGCAGCTAACGCATTAAGCACTCCGCCTGGGGAGTACGGTCGCAAGACTGAACTCAAAGGAATTGACGGG
GGCCCGCACAAGCGGTGGAGCATGTGGTTTAATTCGAAGCAACGCGAAGAACCCTTACCAGGTCTTGACATC
CTCTGACAATCCTAGAGATAGGACGTCCCCTTCGGGGCAGAGTGACAGGTGGTGCATGGTTGTCGTGAGC
TCGTGTCGTGAGATGTTGGGTTAAGTCCCGCAACGAGCGCAACCCTTGATCTTAGTTGCCAGCATTGAGTT
GGGCACTCTAAGGTGACTGCCGGTGACAAACCGGAGGAAGGTGGGGATGACGTCAAATCATCATGCCCT
TATGACCTGGGCTACACACGTGCTACAATGGACAGAACAAGGGCAGCGAAACCGCGAGGTTAAGCCAATC
CCACAAATCTGTTCTCAGTTCGGATCGCAGTCTGCAACTCGACTGCGTGAAGCTGGAATCGCTAGTAATCG
CGGATCAGCATGCCGCGGGTGAATACGTTCCCGGGCCTTGACACACCGCCGTCACACCACGAAG

ลำดับเบสของแบคทีเรียสายพันธุ์ S2

CTCAGGACGAACGCTGGCGGCGTGCCTAATACATGCAAGTCGAGCGGACAGATGGGAGCTTGCTC
CCTGATGTACGGGGACGGGTGAGTAACACGTGGGTAACCTGCCTGTAAGACTGGGATAACTCCGGGAAAC
CGGGGCTAATACCGGATGGTTGTTGAACCGCATGGTTCAAACATAAAAGGTGGCTTCGGCTACCACTTAC
AGATGGACCCGCGGCGCATTAGCTAGTTGGTGAGGTAACGGCTCACCAAGGCGACGATGCGTAGCCGACC
TGAGAGGGTGATCGGCCACACTGGGACTGAGACACGGCCAGACTCCTACGGGAGGCAGCAGTAGGGAAT
CTCCGCAATGGACGAAAGTCTGACGGAGCAACGCCGCGTGAGTGATGAAGGTTTTCGGATCGTAAAGCTC
TGTTGTTAGGGAAGAACAAGTACCGTTCGAATAGGGCGGTACCTTGACGGTACCTAACCAGAAAGCCACGG
CTAACTACGTGCCAGCAGCCGCGTAATACGTAGGTGGCAAGCGTTGTCCGGAATTATTGGGCGTAAAGGG
CTCGCAGGCGTTTTCTAAGTCTGATGTGAAAGCCCCGGCTCAACCGGGGAGGGTCATTGGAACTGGG
GAACTTGAGTGCAGAAGAGGAGAGTGAATTCCACGTGTAGCGGTGAAATGCGTAGAGATGTGGAGGAAC
ACCAGTGGCGAAGGCGACTCTCTGGTCTGTAACTGACGCTGAGGAGCGAAAGCGTGGGGAGCGAACAGGA
TTAGATACCCTGGTAGTCCACGCCGTAACGATGAGTGCTAAGTGTAAAGGGGGTTCCGCCCTTAGTGC
TGCAGCTAACGCATTAAGCACTCCGCCTGGGGGAGTACGGTCGCAAGACTGAACTCAAAGGAATTGACGG
GGGCCCCGACAAGCGGTGGAGCCATGTGGTTTAATTCGAAGCAACGCGAAGAACCCTTACCAGGTCTTGACA
TCCTCTGACAATCCTAGAAGATAGGACGTCCCCTTCGGGGCAGAGTGACAGGTGGTTGCATGGTTGTCGT
CAGCTCGTGTGAGATGTTTGGGTTAAGTCCCGCAACGAGCGCAACCCTTGATCTTAGTTGCCAGCATT
CAGTTGGGCACTCTAAGGTGACTGCCGGTGACAAACCGGAGGAAGGTGGGGATGACGTCAAATCATCATG
CCCCTTATGACCTGGGCTACACACGTGCTACAATGGACAGAACAAGGGCAGCGAAACCGCGAGGTTAAGC
CAATCCCACAAATCTGTTCTCAGTTCGGATCGCAGTCTGCAACTCGACTGCGTGAAGCTGGAATCGCTAGT
AATCGCGGATCAGCATGCCGCGGTGAATACGTTCCCGGGCCTTGACACACCGCCGTCACACCACGAGAG
TTTGTAACACCCGAAGTCGGTGAGGTAACCTTTTAGGAGCCAGCCCGGAAGGTGGGACAGATGATTGGGG
GTGAAGTC

เมื่อนำลำดับเบสที่ได้มาเทียบเคียงกันกับลำดับนิวคลีโอไทด์ของแบคทีเรียในฐานข้อมูลที่มีอยู่ใน NCBI (<http://blast.ncbi.nlm.nih.gov/Blast.cgi>) ด้วยวิธี BLASTN search เพื่อตรวจสอบความเหมือนกัน (identity) ของลำดับนิวคลีโอไทด์พบว่าเชื้อแบคทีเรียสายพันธุ์ S1 เมื่อเปรียบเทียบกับลำดับนิวคลีโอไทด์บริเวณ

16S rDNA ในฐานข้อมูล พบว่าแบคทีเรียตัวอย่างมีลำดับนิวคลีโอไทด์ ใกล้เคียงกับแบคทีเรีย *Bacillus tequilensis* และ *Bacillus subtilis subsp. inaquosorum* มากที่สุด 99.86% และเชื้อแบคทีเรียสายพันธุ์ S2 มีความใกล้เคียงกับเชื้อ *Bacillus subtilis subsp. subtilis* มากที่สุด โดยมีเปอร์เซ็นต์ identity เท่ากับ 99.86% ดังเอกสารแนบ รายงานผลการจำแนกจุลินทรีย์ / IDENTIFICATION'S REPORT จาก BIOTEC

การยืนยันสายพันธุ์ของเชื้อโดยการสกัดสารพันธุกรรม (ดีเอ็นเอ) จากตัวอย่างเชื้อและนำไปเพิ่มปริมาณตำแหน่งของยีน 16S rDNA ด้วยเทคนิค Polymerase Chain Reaction (PCR) โดยใช้ primer ที่จับที่บริเวณ V3-V4 region ของ 16S rDNA (445 bp PCR product), V5-V6 region ของ 16S rDNA (297 bp PCR product) และ other partial sequence ของ 16S rDNA (1,324 bp PCR product) หลังจากนั้นทำการบริสุทธิ์ (Purification) ตัวอย่าง วัดความเข้มข้นและตรวจสอบคุณภาพ แล้วนำส่งวิเคราะห์ลำดับ DNA ด้วยเทคนิค DNA sequencing ณ สถานบริการวิชาการทางด้านวิทยาศาสตร์การแพทย์ คณะวิทยาศาสตร์การแพทย์ มหาวิทยาลัยนเรศวร โดยนำผลการวิเคราะห์มาเทียบเคียงกันกับลำดับนิวคลีโอไทด์ของแบคทีเรียในฐานข้อมูลที่มีอยู่ใน NCBI



รูปที่ 4 ผลการเพิ่มปริมาณตำแหน่งของยีน 16S rDNA ด้วยเทคนิค Polymerase Chain Reaction (PCR)

BLAST result

Sample S1 & S2 cultures

sequencing by primer annealed exon 5 and 6 (Expected size 297 bp)

>A1-56_290

```
GGGATTAGATACCCTGGTAGTCCACGCCGTAACGATGAGTGCTAAGTGTTAGGGGGTTTCCGCCCT
TAGTGCTGCAGCTAACGCATTAAGCACTCCGCCTGGGGAGTACGGTCGCAAGACTGAAACTCAAAGGA
ATTGACGGGGGCCCGCACAAAGCGGTGGAGCATGTGGTTTAATTGAAGCAACGCGAAGAACCTTACCA
GGTCTTGACATCCTCTGACAATCCTAGAGATAGGACGTCCCCTTCGGGGGCAGAGTGACAGGTGGTGC
ATGTTGTCGTCAGCTCG
```

>A2-56_290

```
GGGATTAGATACCCTGGTAGTCCACGCCGTAACGATGAGTGCTAAGTGTTAGGGGGTTTCCGCCCT
TAGTGCTGCAGCTAACGCATTAAGCACTCCGCCTGGGGAGTACGGTCGCAAGACTGAAACTCAAAGGA
ATTGACGGGGGCCCGCACAAAGCGGTGGAGCATGTGGTTTAATTGAAGCAACGCGAAGAACCTTACCA
GGTCTTGACATCCTCTGACAATCCTAGAGATAGGACGTCCCCTTCGGGGGCAGAGTGACAGGTGGTGC
ATGTTGTCGTCAGCTCG
```

Sequences producing significant alignments:

Select: All None Selected:0

Alignments Download GenBank Graphics Distance tree of results

| | Description | Max score | Total score | Query cover | E value | Ident | Accession |
|-------------------------------------|---|-----------|-------------|-------------|---------|-------|----------------------------|
| <input checked="" type="checkbox"/> | Bacillus tequilensis strain SDI-11 16S ribosomal RNA gene, partial sequence | 536 | 536 | 100% | 1e-148 | 100% | KT021491.1 |
| <input checked="" type="checkbox"/> | Bacillus sp. (in: Bacteria) strain SeqTM5 16S ribosomal RNA gene, partial sequence | 534 | 534 | 99% | 4e-148 | 100% | MG814031.1 |
| <input checked="" type="checkbox"/> | Bacillus sp. (in: Bacteria) strain SeqPW10 16S ribosomal RNA gene, partial sequence | 534 | 534 | 99% | 4e-148 | 100% | MG814023.1 |
| <input checked="" type="checkbox"/> | Bacillus mojavensis strain HR6A 16S ribosomal RNA gene, partial sequence | 534 | 534 | 99% | 4e-148 | 100% | KY963558.1 |
| <input checked="" type="checkbox"/> | Uncultured bacterium clone DEF4 16S ribosomal RNA gene, partial sequence | 534 | 534 | 99% | 4e-148 | 100% | MG807417.1 |
| <input checked="" type="checkbox"/> | Uncultured bacterium clone DEF2 16S ribosomal RNA gene, partial sequence | 534 | 534 | 99% | 4e-148 | 100% | MG807415.1 |
| <input checked="" type="checkbox"/> | Bacillus siamensis strain Sp37 16S ribosomal RNA gene, partial sequence | 534 | 534 | 99% | 4e-148 | 100% | MG788345.1 |
| <input checked="" type="checkbox"/> | Bacillus velezensis strain 10075 chromosome, complete genome | 534 | 4805 | 99% | 4e-148 | 100% | CP025939.1 |
| <input checked="" type="checkbox"/> | Bacillus subtilis strain BJ3-2 chromosome, complete genome | 534 | 5348 | 99% | 4e-148 | 100% | CP025941.1 |
| <input checked="" type="checkbox"/> | Bacillus velezensis strain p36 16S ribosomal RNA gene, partial sequence | 534 | 534 | 99% | 4e-148 | 100% | MG786694.1 |

รูปที่ 5 ผลเทียบเคียงกันกับลำดับนิวคลีโอไทด์ของแบคทีเรียในฐานข้อมูลที่มีอยู่ใน NCBI (A:S1; B:S2) โดยใช้ primer ที่จับที่บริเวณ V3-V4 region ของ 16S rDNA

BLAST result

S1 & S2 cultures

sequencing by primer annealed exon 3 and 4 (Expected size 445 bp)

>A3-34_429

```
GGGAATCTTCCGCAATGGACGAAAGTCTGACGGAGCAACGCCCGTGAGTGATGAAGGTTTTCCGGATC
GTAAAGCTCTGTTGTTAGGGAAGAACAAGTACCGTTTCGAATAGGGCGGTACCTTGACGGTACCTAACC
AGAAAGCCACGGCTAACTACGTGCCAGCAGCCGCGGTAATACGTAGGTGGCAAGCGTTGTCCGGAATT
ATTGGGCGTAAAGGGCTCGCAGGCGTTTTCTTAAGTCTGATGTGAAAGCCCCCGGCTCAACCGGGGAG
GGTCATTGGAACTGGGGAACCTTGAGTGCAGAAGAGGAGAGTGGAAATCCACGTGTAGCGGTGAAATG
CGTAGAGATGTGGAGGAACACCAGTGGCGAAGGCGACTCTCTGGTCTGTAAGTACGCTGAGGAGCGA
AAGCGTGGGGAGCGAACAGGA
```

>A4-34_429

```
GGGAATCTTCCGCAATGGACGAAAGTCTGACGGAGCAACGCCCGTGAGTGATGAAGGTTTTCCGGATC
GTAAAGCTCTGTTGTTAGGGAAGAACAAGTACCGTTTCGAATAGGGCGGTACCTTGACGGTACCTAACC
AGAAAGCCACGGCTAACTACGTGCCAGCAGCCGCGGTAATACGTAGGTGGCAAGCGTTGTCCGGAATT
ATTGGGCGTAAAGGGCTCGCAGGCGTTTTCTTAAGTCTGATGTGAAAGCCCCCGGCTCAACCGGGGAG
GGTCATTGGAACTGGGGAACCTTGAGTGCAGAAGAGGAGAGTGGAAATCCACGTGTAGCGGTGAAATG
CGTAGAGATGTGGAGGAACACCAGTGGCGAAGGCGACTCTCTGGTCTGTAAGTACGCTGAGGAGCGA
AAGCGTGGGGAGCGAACAGGA
```

Sequences producing significant alignments:

Select: All None Selected:0

Alignments Download GenBank Graphics Distance tree of results

| | Description | Max score | Total score | Query cover | E value | Ident | Accession |
|--------------------------|---|-----------|-------------|-------------|---------|-------|----------------------------|
| <input type="checkbox"/> | Bacillus subtilis subsp. subtilis strain TN 0404 16S ribosomal RNA gene, partial sequence | 793 | 793 | 100% | 0.0 | 100% | KY777343.1 |
| <input type="checkbox"/> | Bacillus subtilis strain CH 01 05 16S ribosomal RNA gene, partial sequence | 793 | 793 | 100% | 0.0 | 100% | KY510927.1 |
| <input type="checkbox"/> | Bacillus subtilis strain GF1_16SF_brmvyas_tejalpopal 16S ribosomal RNA gene, partial sequence | 793 | 793 | 100% | 0.0 | 100% | MG976619.1 |
| <input type="checkbox"/> | Bacillus subtilis strain APK 16S ribosomal RNA gene, partial sequence | 793 | 793 | 100% | 0.0 | 100% | MG970277.1 |
| <input type="checkbox"/> | Bacillus subtilis strain 2M6E 16S ribosomal RNA gene, partial sequence | 793 | 793 | 100% | 0.0 | 100% | MG966466.1 |
| <input type="checkbox"/> | Bacillus subtilis strain C3 16S ribosomal RNA gene, partial sequence | 793 | 793 | 100% | 0.0 | 100% | KY983582.1 |
| <input type="checkbox"/> | Bacillus sp. (in: Bacteria) strain SeqTM5 16S ribosomal RNA gene, partial sequence | 793 | 793 | 100% | 0.0 | 100% | MG814031.1 |
| <input type="checkbox"/> | Bacillus sp. (in: Bacteria) strain SeqTK7 16S ribosomal RNA gene, partial sequence | 793 | 793 | 100% | 0.0 | 100% | MG814027.1 |
| <input type="checkbox"/> | Bacillus sp. (in: Bacteria) strain SepMR4 16S ribosomal RNA gene, partial sequence | 793 | 793 | 100% | 0.0 | 100% | MG814019.1 |
| <input type="checkbox"/> | Bacillus subtilis strain ZS2N6 16S ribosomal RNA gene, partial sequence | 793 | 793 | 100% | 0.0 | 100% | MF136419.1 |

รูปที่ 6 ผลเทียบเคียงกันกับลำดับนิวคลีโอไทด์ของแบคทีเรียในฐานข้อมูลที่มีอยู่ใน NCBI (A:S1; B:S2) โดยใช้ primer ที่จับที่บริเวณ V5-V6 region ของ 16S rDNA

ว. ๑๒
๖๒
: ๑๙๖
อนุกรม
1049859



สำนักหอสมุด

BLAST result

Sample S1 & S2 cultures

sequencing by primer annealed partial seq. in database (Expected size 1,324 bp)

22 มี.ค. 2565

```

>A5-R1387_382
AAACTCAAAGGAATTGACGGGGGCCCGCACAAAGCGGTGGAGCATGTGGTTTAATTCGAAGCAACGCGA
AGAACCTTACCAGGTCTTGACATCCTCTGACAATCCTAGAGATAGGACGTCCCTTCGGGGGCAGAGT
GACAGGTGGTGCATGGTTGTCGTCAGCTCGTGTCTGAGATGTTGGGTTAAGTCCCGCAACGAGCGCA
ACCCTTGATCTTAGTTGCCAGCATTAGTTGGGCACTCTAAGGTGACTGCCGGTGACAAACCGGAGGA
AGGTGGGGATGACGTCAAATCATCATGCCCTTATGACCTGGGCTACACACGTGCTACAATGGACAGA
ACAAAGGGCAGCGAAACCGCGAGGTTAAGCCAATCCCACAAA

>A6-R1387_382
AAACTCAAAGGAATTGACGGGGGCCCGCACAAAGCGGTGGAGCATGTGGTTTAATTCGAAGCAACGCGA
AGAACCTTACCAGGTCTTGACATCCTCTGACAATCCTAGAGATAGGACGTCCCTTCGGGGGCAGAGT
GACAGGTGGTGCATGGTTGTCGTCAGCTCGTGTCTGAGATGTTGGGTTAAGTCCCGCAACGAGCGCA
ACCCTTGATCTTAGTTGCCAGCATTAGTTGGGCACTCTAAGGTGACTGCCGGTGACAAACCGGAGGA
AGGTGGGGATGACGTCAAATCATCATGCCCTTATGACCTGGGCTACACACGTGCTACAATGGACAGA
ACAAAGGGCAGCGAAACCGCGAGGTTAAGCCAATCCCACAAA

```

Sequences producing significant alignments:

Select: All None Selected: 0

| Description | Max score | Total score | Query cover | E value | Ident | Accession |
|--|-----------|-------------|-------------|---------|-------|----------------------------|
| Bacillus siamensis strain TN 0503 16S ribosomal RNA gene, partial sequence | 706 | 706 | 100% | 0.0 | 100% | KY777345.1 |
| Bacillus subtilis subsp. subtilis strain TN 0404 16S ribosomal RNA gene, partial sequence | 706 | 706 | 100% | 0.0 | 100% | KY777343.1 |
| Bacillus siamensis strain TN 0204 16S ribosomal RNA gene, partial sequence | 706 | 706 | 100% | 0.0 | 100% | KY777338.1 |
| Bacillus subtilis strain M1 16S ribosomal RNA gene, partial sequence | 706 | 706 | 100% | 0.0 | 100% | MG977677.1 |
| Bacillus sp. (in: Bacteria) strain WF50 16S ribosomal RNA gene, partial sequence | 706 | 706 | 100% | 0.0 | 100% | MG768133.1 |
| Bacillus subtilis strain A1F10 16S ribosomal RNA gene, partial sequence | 706 | 706 | 100% | 0.0 | 100% | MG766132.1 |
| Bacillus subtilis strain GF1 16SR brmvyas tejapopat 16S ribosomal RNA gene, partial sequence | 706 | 706 | 100% | 0.0 | 100% | MG978620.1 |
| Bacillus velezensis strain APJ 16S ribosomal RNA gene, partial sequence | 706 | 706 | 100% | 0.0 | 100% | MG970354.1 |
| Bacillus velezensis strain APG 16S ribosomal RNA gene, partial sequence | 706 | 706 | 100% | 0.0 | 100% | MG970353.1 |
| Bacillus velezensis strain APF 16S ribosomal RNA gene, partial sequence | 706 | 706 | 100% | 0.0 | 100% | MG970351.1 |

รูปที่ 7 ผลเทียบเคียงกันกับลำดับนิวคลีโอไทด์ของแบคทีเรียในฐานข้อมูลที่มีอยู่ใน NCBI (A:S1; B:S2) โดยใช้ primer ที่จับที่บริเวณ other partial sequence ของ 16S rDNA

เชื้อที่คัดแยกมาจากแหล่งดิน ทั้ง 2 ตัวอย่าง (ดินของป่าดิบแล้ง ป่าเบญจพรรณและป่าเต็งรังของ อุทยานแห่งชาติน้ำหนาว ประเทศไทย) ได้รับการพิสูจน์ยืนยันว่าเป็นเชื้อ *Bacillus* spp. ซึ่งจากการวิเคราะห์ ลำดับนิวคลีโอไทด์ (รูป 3-1 ถึง รูปที่ 3-4) อาจจะเป็นสายพันธุ์ *B. tequilensis*, *B. subtilis* subsp. *subtilis* หรือ *B. siamensis*

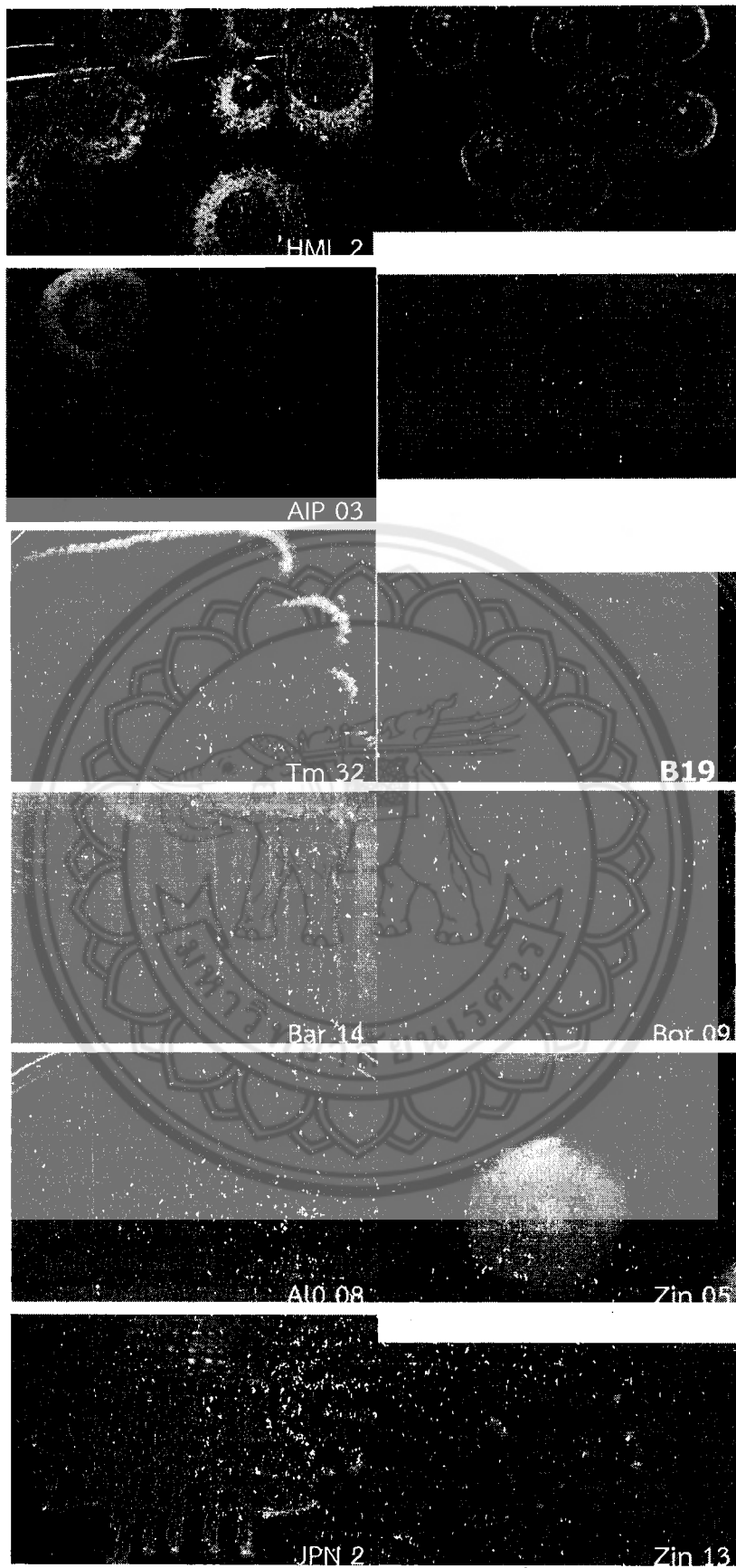
4.2 การจัดจำแนกชนิดเชื้อแอคติโนมัยซีต์ที่แยกได้จากดินรอบรากข้าวใน อ.บางกระทุ่ม จ. พิษณุโลก และ รากของต้นข้าวใน อ. บางระกำ จ. พิษณุโลก

4.2.1 การศึกษาลักษณะทางสัณฐานวิทยาและลักษณะสปอร์ของแอคติโนมัยซีต์ที่เรียภายในใต้กล้องจุลทรรศน์

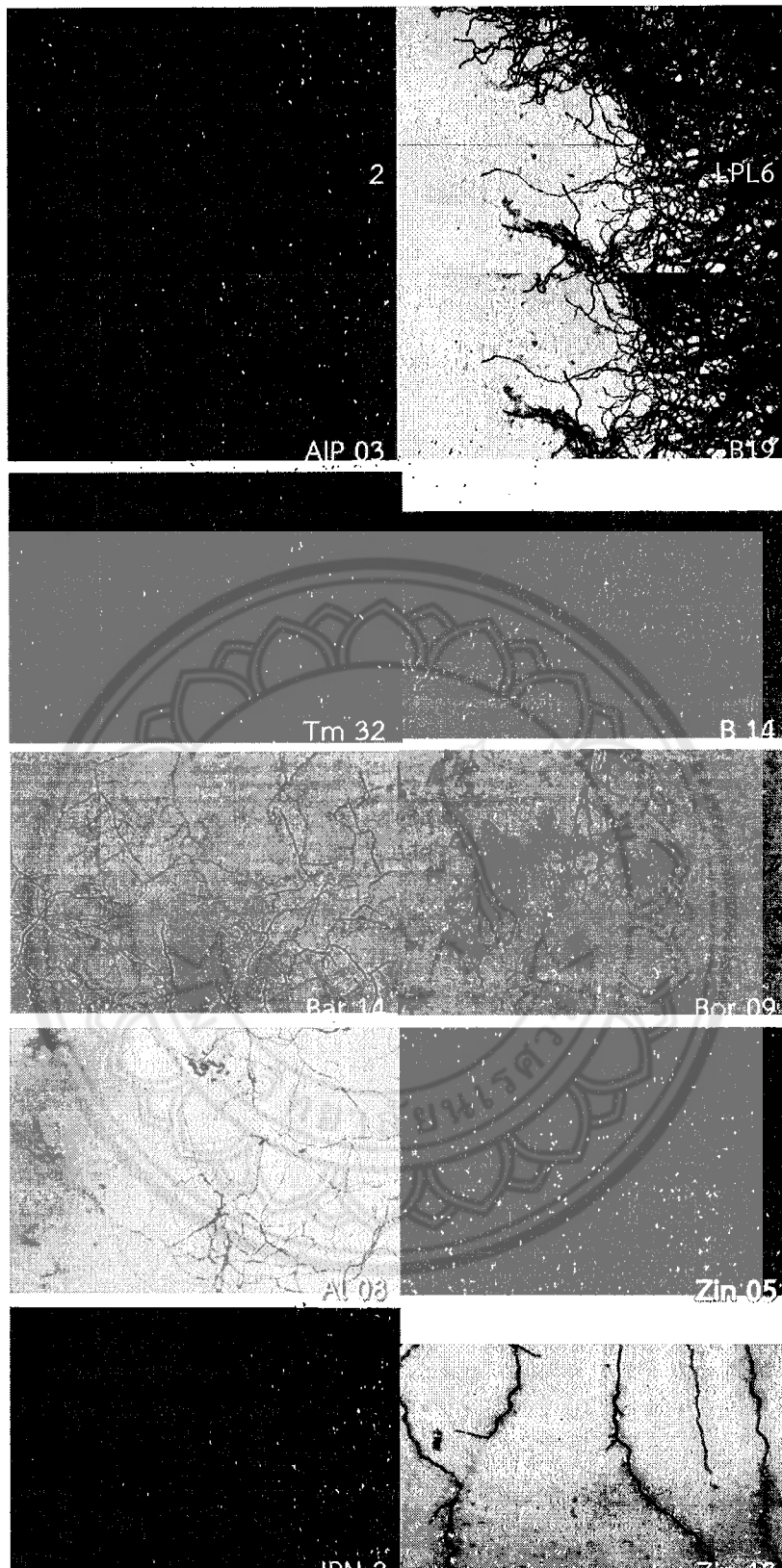
แอคติโนมัยซีต์ที่นำมาใช้ในการวิจัยครั้งนี้มีทั้งหมด 12 สายพันธุ์ได้แก่ ไอโซเลท JPN 2, Zin 13, Al 08, Zin 05, Bar 14, Bor 09, Tm 32, LPL 6, HML 2, B 14, B19 และ AIP 03 เชื้อทั้ง 12 ไอโซเลท มีการสร้างเส้นใยอาหาร (substrate mycelium) ในวันที่ 2-3 ของการเจริญบนอาหาร HT agar มีการสร้างเส้นใยอากาศ (aerial mycelium) และสปอร์ ในวันที่ 5-7 ของการเจริญ เชื้อส่วนใหญ่มีการสร้างสปอร์ต่อเป็นสายยาวมากกว่า 20 สปอร์ ซึ่งเป็นลักษณะของจีนัส *Streptomyces* sp. ยกเว้น ไอโซเลท LPL 6 และ HML 2 ที่มีการสร้างสปอร์ 2 สปอร์ต่อกัน ซึ่งเป็นลักษณะของจีนัส *Microbispora* sp. ดังตารางที่ 5 รูปที่ 8 และ 9 อย่างไรก็ตามจะได้มีการนำเอาไอโซเลทที่มีฤทธิ์ยับยั้งการเจริญเติบโตของเซลล์มะเร็งในได้ตีไปทำการจัดจำแนกชนิดโดยการวิเคราะห์หาลำดับเบสในบริเวณ 16S rRNA ยีน ต่อไป

ตารางที่ 5 ลักษณะการสร้างสปอร์ของเชื้อแอคติโนมัยซีต์ที่เรีย

| ไอโซเลท | จำนวนสปอร์ | จีนัส |
|--|------------|-------------------------|
| LPL 6 , HML 2 | 2 | <i>Microbispora</i> sp. |
| JPN 2, Zin 13, Al 08, Zin05, Tm 32, AIP 03, B 14, Bar 14, Bor 09, B 19 | >20 | <i>Streptomyces</i> sp |



รูปที่ 8 ลักษณะโคโลนีเชื้อแอคติโนมัยซีตที่เรีย ทั้ง 12 ไอโซเลทเมื่อเจริญบนอาหาร HT agar ที่อุณหภูมิ 30 องศาเซลเซียส เป็นเวลา 7 วัน



รูปที่ 9 ลักษณะภายใต้กล้องจุลทรรศน์ของเชื้อแอคติโนมัยซีตที่เรีย ทั้ง 12 ไอโซเลทเมื่อเจริญบนอาหาร HT agar ที่อุณหภูมิ 30 องศาเซลเซียส เป็นเวลา 7 วัน

ผลการวิเคราะห์หาลำดับเบสของยีน 16S rRNA

การวิเคราะห์หาลำดับเบสของยีน 16S rRNA ของเชื้อที่ให้ผลการยับยั้งเซลล์มะเร็งได้ดีที่สุด 4 ไอโซเลท ได้แก่ JPN2, B14, Zin05 และ B19 โดยได้ดำเนินการส่งเชื้อที่ได้ ไปวิเคราะห์ยังบริษัท Macrogen Inc. Service ที่ประเทศเกาหลีใต้ ตรวจสอบความถูกต้องของ Chrommatograms ด้วยโปรแกรม BioEdit โดยการนำลำดับนิวคลีโอไทด์ที่ได้เทียบเคียงกันกับลำดับนิวคลีโอไทด์ของแอกติโนแบคทีเรียในฐานข้อมูลที่มีอยู่ใน NCBI <http://blast.ncbi.nlm.nih.gov/Blast.cgi>) ด้วยวิธี BLASTN search เพื่อตรวจสอบความเหมือน (identity) ของลำดับนิวคลีโอไทด์ พบว่า เชื้อแอกติโนแบคทีเรียทั้ง 4 ไอโซเลทมีลำดับเบส ของยีน 16S rRNA ดังตารางที่ 6 โดยไอโซเลท JPN2, B14, Zin05 และ B19 มีความใกล้เคียงกับ *Streptomyces kunmingensis*, *Streptomyces coeruleus*, *Streptomyces californicus* และ *Streptomyces variabilis* ตามลำดับ โดยมี % identity เท่ากับ .99 %

ตารางที่ 6 ลำดับเบสของเชื้อแอกติโนแบคทีเรียที่ให้ผลการยับยั้งเซลล์มะเร็งได้ดีที่สุด 4 ไอโซเลท และสายพันธุ์ที่มีความใกล้เคียงมากที่สุด

| ไอโซเลท | ลำดับเบสของยีน 16S rRNA | สายพันธุ์ที่มีความใกล้เคียงมากที่สุด (% identity) |
|---------|---|---|
| JPN2 | AATTTTGTTTTACTGCTCAGGACGAACGCTGGCGGCGTGCT TAACACATGCAAGTCGAACGATGAAGCCCTTCGGGGTGGAT TAGTGGCGAACGGGTGAGTAACACGTGGGCAATCTGCCCT TCACTCTGGGACAAGCCCTGGAAACGGGGTCTAATACCGG ATAATACTTCGGTCCCTCCTGGACGGTGGTTGAAAGCTCCGG CGGTGAAGGATGAGCCCGCGGCCTATCAGCTTGTTGGTGA GGTAATGGCTACCAAGGCGACGACGGGTAGCCGGCCTGA GAGGGCGACCGGCCACACTGGGACTGAGACACGGCCCAGA CTCCTACGGGAGGCAGCAGTGGGGAATATTGCACAATGGG CGCAAGCCTGATGCAGCGACGCCGCGTGAGGGATGACGGC CTTCGGGTTGTAAACCTCTTTCAGCAGGGAAGAAGCGCAAG TGACGGTACCTGCAGAAGAAGCGCCGGCTAACTACGTGCC AGCAGCCGCGGTAATACGTAGGGCGCAAGCGTTGTCCGGA ATTATTGGGCGTAAAGAGCTCGTAGGCGGCTTGTCGCGTCG GTTGTGAAAGCCCGGGGCTTAACCCCGGGTCTGCAGTCGA TACGGGCAGGCTAGAGTGTGGTAGGGGAGATCGGAATTCC TGGTGTAGCGGTGAAATGCGCAGATATCAGGAGGAACACC GGTGGCGAAGGCGGATCTCTGGGCCATTACTGACGCTGAG GAGCGAAAGCGTGGGGAGCGAACAGGATTAGATACCCTGG TAGTCCACGCCGTAAACGGTGGGAAGTGGTGGCGAC ATTCCACGTCGTCGGTGCCGAGCTAACGCATTAAGTTCCC | <i>Streptomyces kunmingensis</i> (99%) |

| | | |
|-----|---|-------------------------------------|
| | <p>CGCCTGGGGAGTACGGCCGCAAGGCTAAAACCTCAAAGGAA TTGACGGGGGCCCCGCACAAGCAGCGGAGCATGTGGCTTAA TTCGACGCAACGCGAAGAACCTTACCAAGGCTTGACATACA CCGAAAACCCCTGGAGACAGGGTCCCCCTTGTGGTCGGTG TACAGGTGGTGCATGGCTGTCGTCAGCTCGTGTGAGAT GTTGGGTTAAGTCCCGCAACGAGCGCAACCCTTGTCTGTG TTGCCAGCATGCCCTTCGGGGTGATGGGGACTCACAGGAG ACCGCCGGGGTCAACTCGGAGGAAGGTGGGGACGACGTCA AGTCATCATGCCCTTATGTCTTGGGCTGCACACGTGCTAC AATGGCCGATAAATGAGCTGCGATACCGCAAGGTGGAGC GAATCTCAAAAAGTCGGTCTCAGTTCGGATTGGGGTCTGCA ACTCGACCCCATGAAGTTGGAGTTGCTAGTAATCGCAGATC AGCATTGCTGCGGTGAATACGTTCCCGGGCCTTGTACACAC CGCCCGTCACGTCACGAAAGTCGGTAACACCCGAAGCCGG TGGCCAACCCCTTGTGGGAGGGAGCTGTGAAGGTGGGA CTGGCGATTGGGACGAAGTCTAAAAGGGGGGAACCAAAG GGGCGGAACC</p> | |
| B14 | <p>TATGGAACATAGGAAGGCGGAGATTGTTGTTCTGGGTTT TGTAATTTTGGTACCAAGCCACCCTTATTGATTTTTTTTCC CTGCTCAGGACGAACGCTGGCGGCGTGCTTAACACATGCA AGTCGAACGATGAACCACTTCGGTGGGGATTAGTGGCGAA CGGGTGAGTAACACGTGGGCAATCTGCCCTGCACTCTGGG ACAAGCCCTGGAAACGGGGTCTAATACCGGATACTGAGCC ACTTGGGCATCCAAGTGGTTCGAAAGCTCCGGCGGTGCAG GATGAGCCCGCGGCCTATCAGCTTGTGGTGAGGTAATGG CTCACCAAGGCGACGACGGGTAGCCGGCCTGAGAGGGCGA CCGGCCACACTGGGACTGAGACACGGCCCAGACTCCTACG GGAGGCAGCAGTGGGGAATATTGCACAATGGGCGAAAGCC TGATGCAGCGACGCCGCGTGAGGGATGACGGCCTTCGGGT TGTAACCTCTTTCAGCAGGGAAGAAGCGAAAGTGACGGTA CCTGCAGAAGAAGCGCCGGCTAACTACGTGCCAGCAGCCG CGGTAATACGTAGGGCGCAAGCGTTGTCCGGAATTATTGG GCGTAAAGAGCTCGTAGGCGGCTTGTACGTCGGTTGTGA AAGCCCGGGCTTAACCCCGGGTCTGCAGTCGATACGGGC AGGCTAGAGTTCGGTAGGGGAGATCGGAATCCTGGTGTA GCGGTGAAATGCGCAGATATCAGGAGGAACACCGGTGGCG AAGGCGGATCTCTGGGCCGATACTGACGCTGAGGAGCGAA AGCGTGGGGAGCGAACAGGATTAGATACCCTGGTAGTCCA</p> | <i>Streptomyces coeruleus</i> (99%) |

| | | |
|-------|--|--|
| | <p>CGCCGTAAACGGTGGGCACTAGGTGTGGGCAACATTCCAC GTTGTCCGTGCCGAGCTAACGCATTAAGTGCCCCGCCTGG GGAGTACGGCCGAAGGCTAAAACCTCAAAGGAATTGACGG GGGCCCCGACAAGCGGCGGAGCATGTGGCTTAATTCGACG CAACGCGAAGAACCTTACCAAGGCTTGACATACACCGGAAA CGTCCAGAGATGGGCGCCCCCTTGTGGTCGGTGTACAGGT GGTGCATGGCTGTCGTCAGCTCGTGTGAGATGTTGGGT TAAGTCCCGCAACGAGCGCAACCCTTGTCCCGTGTGCCAG CAGGCCCTTGTGGTGCTGGGGACTCACGGGAGACCGCCGG GGTCAACTCGGAGGAAGGTGGGGACGACGTCAAGTCATCA TGCCCCTTATGTCTTGGGCTGCACACGTGCTACAATGGCCG GTACAATGAGCTGCGATACCGCGAGGTGGAGCGAATCTCA AAAAGCCGGTCTCAGTTCGGATTGGGGTCTGCAACTCGACC CCATGAAGTCGGAGTCGCTAGTAATCGCAGATCAGCATTGC TGCGGTGAATACGTTCCCGGGCCTTGTACACACCGCCCGTC ACGTCACGAAAGTCGGTAACACCCGAAGCCGGTGGCCCAA CCCCTTGTGGGAGGGAGCTGTGGAAGGTGGGACTGGCGAT TGGGACGAAGTCGTACAAAGGGTAACCAAAATAGTTTGGAA CATGGCTCCGAGAGTCACAAACA</p> | |
| Zin05 | <p>TCAGCTCAGGACGAACGCTGGCGGCGTGCTTAACACATGC AAGTCGAACGATGAAGCCCTTCGGGGTGGATTAGTGGCGA ACGGGTGAGTAACACGTGGGCAATCTGCCCTTCACTCTGG GACAAGCCCTGGAAACGGGGTCTAATACCGGATAAACTCT GTCCTGCATGGGACGGGGTTGAAAGCTCCGGCGGTGAAGG ATGAGCCCGCGCCTATCAGCTTGTGGTGGGGTAATGGC CTACCAAGGCGACGACGGGTAGCCGGCCTGAGAGGGCGAC CGGCCACACTGGGACTGAGACACGGCCAGACTCCTACGG GAGGCAGCAGTGGGGAATATTGCACAATGGGCGAAAGCCT GATGCAGCGACCCGCGTGAGGGATGACGGCCTTCGGGTT GTAAACCTCTTTCAGCAGGGAAGAAGCGCAAGTGACGGTA CCTGCAGAAGAAGCGCCGGCTAACTACGTGCCAGCAGCCG CGGTAATACGTAGGGCGCAAGCGTTGTCCGGAATTATTGG GCGTAAAGAGCTCGTAGGCGGCTTGTACGTCGGATGTGA AAGCCCGGGGCTTAACCCCGGGTCTGCATTCGATACGGGC TAGCTAGAGTGTGGTAGGGGAGATCGGAATTCCTGGTGTA GCGGTGAAATGCGCAGATATCAGGAGGAACACCGGTGGCG AAGGCGGATCTCTGGGCCATTACTGACGCTGAGGAGCGAA AGCGTGGGGAGCGAACAGGATTAGATACCCTGGTAGTCCA</p> | <i>Streptomyces californicus</i> (99%) |

| | | |
|-----|--|--------------------------------------|
| | <p>CGCCGTAAACGTTGGGAACTAGGTGTTGGCGACATTCCACG TCGTCCGGTGCCGCAGCTAACGCATTAAGTTCCCCGCCTGGG GAGTACGGCCGCAAGGCTAAAACCTCAAAGGAATTGACGGG GGCCCCGACAAGCAGCGGAGCATGTGGCTTAATTCGACGC AACCGAAGAACCTTACCAAGGCTTGACATATACCGGAAAG CATCAGAGATGGTGCCCCCTTGTGGTCGGTATACAGGTGG TGCATGGCTGTCGTAGCTCGTGTGAGATGTTGGGTTA AGTCCCGCAACGAGCGCAACCCTTGTCTGTGTTGCCAGCA TGCCCTTCGGGGTGATGGGGACTCACAGGAGACTGCCGGG GTCAACTCGGAGGAAGGTGGGGACGACGTCAAGTCATCAT GCCCTTATGTCTTGGGCTGCACACGTGCTACAATGGCCGG TACAATGAGCTGCGATGCCGCGAGGCGGAGCGAATCTCAA AAAGCCGGTCTCAGTTCGGATTGGGGTCTGCAACTCGACCC CATGAAGTCGGAGTTGCTAGTAATCGCAGATCAGCATTGCT GCGGTGAATACGTTCCCGGGCCTTGTACACACCGCCCGTCA CGTCACGAAAGTCGGTAACACCCGAAGCCGGTGGCCCAAC CCCTTGTGGGAGGGAGCTGTGGAAGGTGGGACTGGCGATT GGGACGAAGTCGTAAAAAGGGGAACCAAAGGGGTGG</p> | |
| B19 | <p>TGGCGAACGGGTGAGTAACACGTGGGCAATCTGCCCTGCA CTCTGGGACAAGCCCTGGAAACGGGGTCTAATACCGGATA CTGACCCGCTTGGGCATCCAAGCGGTTGAAAGCTCCGGC GGTGCAGGATGAGCCCGCGGCCTATCAGCTTGTGGTGAG GTAATGGCTACCAAGGCGACGACGGGTAGCCGGCCTGAG AGGGCGACCGGCCACACTGGGACTGAGACACGGCCAGAC TCCTACGGGAGGCAGCAGTGGGGAATATTGCACAATGGGC GAAAGCCTGATGCAGCGACGCCCGTGAGGGATGACGGCC TTCGGGTTGTAACCTCTTTCAGCAGGGAAGAAGCGAAAAGT GACGGTACCTGCAGAAGAAGCGCCGGCTAACTACGTGCCA GCAGCCGCGGTAATACGTAGGGCGCGAGCGTTGTCCGGAA TTATTGGGCGTAAAGAGCTCGTAGGGCGGCTTGTACGTCGG TTGTGAAAGCCCGGGGCTTAACCCCGGGTCTGCAGTCGAT ACGGGCAGGCTAGAGTTCGGTAGGGGAGATCGGAATTCCT GGTGTAGCGGTGAAATGCGCAGATATCAGGAGGAACACCG GTGGCGAAGGCGGATCTCTGGGCCGATACTGACGCTGAGG AGCGAAAGCGTGGGGAGCGAACAGGATTAGATACCCTGGT AGTCCACGCCGTAAACGGTGGGCACTAGGTGTGGGCGACA TTCCACGTCGTCCGTGCCGAGCTAACGCATTAAGTCCCC GCCTGGGGAGTACGGCCGCAAGGCTAAAACCTCAAAGGAAT</p> | <i>Streptomyces variabilis</i> (99%) |

TGACGGGGGCCCGCACAAGCGGCGGAGCATGTGGCTTAAT
TCGACGCAACGCGAAGAACCTTACCAAGGCTTGACATACAC
CGGAAAGCATCAGAGATGGTGCCCCCTTGTGGTGGTGT
ACAGGTGGTGCATGGCTGTCGTCAGCTCGTGTGTCGTGAGAT
GTTGGGTTAAGTCCCGCAACGAGCGCAACCCTTGTCCCGTG
TTGCCAGCAGGCCCTTGTGGTGCTGGGGACTCACGGGAGA
CCGCCGGGTCAACTCGGAGGAAGGTGGGGACGACGTCAA
GTCATCATGCCCTTATGTCTTGGGCTGCACACGTGCTACA
ATGGCCGGTACAATGAGCTGCGATACCGCGAGGTGGAGCG
AATCTCAAAAAGCCGGTCTCAGTTCGGATTGGGGTCTGCAA
CTCGACCCCATGAAGTCGGAGTCGCTAGTAATCGCAGATCA
GCATTGCTGCGGTGAATACGTTCCCGGGCCTTGTACACACC
GCCCGTCACGTACGAAAGTCGGTAACACCCGAAGCCGGT
GGCCCAACCCCTTGTGGGAGGGAGCTGTGAAGGTGGGAC
TGGCGATTGGGACGAATCTAAAAGGG



4.3 ร้อยละและลักษณะของผลผลิตของการสกัดอาหารเพาะเลี้ยงเชื้อ *Bacillus tequilensis* (S1) และ *Bacillus subtilis* (S2)

การเลี้ยงเชื้อในอาหารที่แตกต่างกัน อุณหภูมิในการเลี้ยงต่างกัน และจำนวนวันที่เลี้ยงต่างกัน จะได้ปริมาณผลผลิตในแต่ละชั้นต่างกันแสดงดังตารางที่ 7 จะเห็นได้ว่า *B. subtilis* (S2) ที่เลี้ยงโดยอาหาร Yeast extract peptone dextrose agar (F2) ที่อุณหภูมิ 37 °C เป็นเวลา 7 วัน แล้วสกัดด้วย dichloromethane และ ethyl acetate ให้ร้อยละผลผลิตค่อนข้างสูง คือ ประมาณ 266 และ 301.97 mg ตามลำดับ

ตารางที่ 7 แสดงหมายเลขของสารสกัดที่ได้จากการเพาะเลี้ยงเชื้อ *Bacillus tequilensis* (S1) และ *Bacillus subtilis* (S2) เมื่อเพาะเลี้ยงในสภาวะที่แตกต่างกัน แสดงร้อยละผลผลิตและลักษณะทั่วไปของสารสกัดที่ได้ (สารสกัดหมายเลข 1-32)

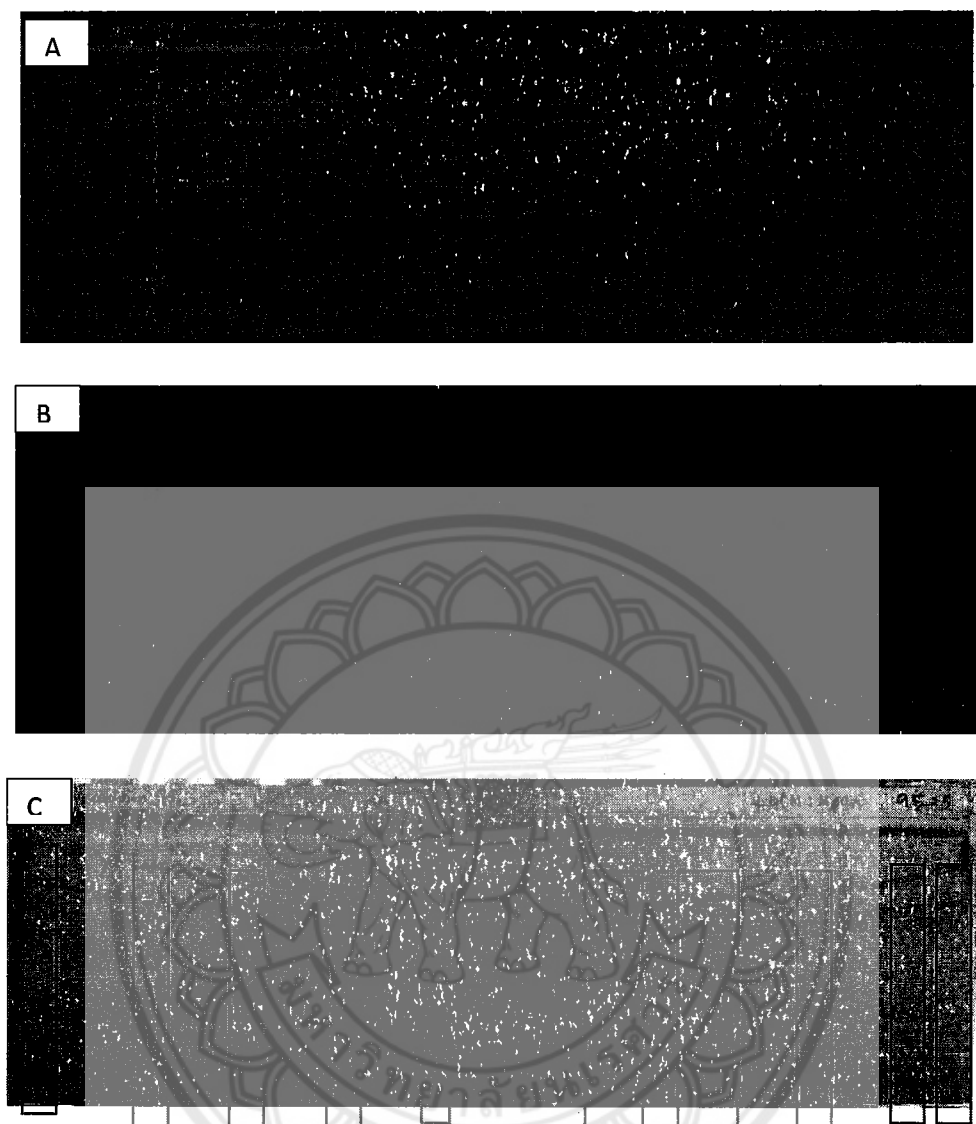
| หมายเลขสารสกัด | ชนิดอาหาร/เชื้อ | ระยะเวลาการเพาะเลี้ยง | อุณหภูมิ (°C) | ชั้นสารละลายอินทรีย์ | น้ำหนักสาร (mg) | ร้อยละผลผลิต (mg%) | ลักษณะทั่วไป |
|----------------|-----------------|-----------------------|---------------|----------------------|-----------------|--------------------|-----------------|
| 1 | F1S1 | 7 | 27 | DCM | 17.90 | 7.16 | Clear yellow, |
| 2 | F2S1 | 7 | 27 | DCM | 67.20 | 26.88 | Brown, viscous |
| 3 | F1S1 | 7 | 27 | EtOAc | 24.30 | 9.72 | Brown, viscous |
| 4 | F2S1 | 7 | 27 | EtOAc | 49.83 | 19.93 | Brown, viscous |
| 5 | F1S2 | 7 | 27 | DCM | 15.77 | 6.31 | Brown, viscous |
| 6 | F2S2 | 7 | 27 | DCM | 72.97 | 29.19 | Dark |
| 7 | F1S2 | 7 | 27 | EtOAc | 24.40 | 9.76 | Brown, viscous |
| 8 | F2S2 | 7 | 27 | EtOAc | 66.63 | 26.65 | Brown, viscous |
| 9 | F1S1 | 7 | 37 | DCM | 12.63 | 5.05 | Light brown, |
| 10 | F2S1 | 7 | 37 | DCM | 102.67 | 41.07 | Brown, viscous |
| 11 | F1S1 | 7 | 37 | EtOAc | 13.00 | 5.20 | Yellow, viscous |
| 12 | F2S1 | 7 | 37 | EtOAc | 119.90 | 47.96 | Brown, viscous |
| 13 | F1S2 | 7 | 37 | DCM | 16.70 | 6.68 | Brown, viscous |
| 14 | F2S2 | 7 | 37 | DCM | 226.70 | 90.68 | Brown, viscous |
| 15 | F1S2 | 7 | 37 | EtOAc | 48.47 | 19.39 | Dark brown, |
| 16 | F2S2 | 7 | 37 | EtOAc | 301.97 | 120.79 | Red crimson, |
| 17 | F1S1 | 15 | 27 | DCM | 10.67 | 4.27 | Yellow, viscous |
| 18 | F2S1 | 15 | 27 | DCM | 65.07 | 26.03 | Brown, viscous |
| 19 | F1S1 | 15 | 27 | EtOAc | 19.13 | 7.65 | Brown, viscous |

| หมายเลขสารสกัด | ชนิดอาหาร/ | ระยะเวลาการ | อุณหภูมิ (°C) | ชั้นสารละลาย | น้ำหนักสาร (mg) | ร้อยละผลผลิต | ลักษณะทั่วไป |
|----------------|------------|-------------|---------------|--------------|-----------------|--------------|-----------------|
| 20 | F2S1 | 15 | 27 | EtOAc | 77.20 | 30.88 | Brown, viscous |
| 21 | F1S2 | 15 | 27 | DCM | 16.00 | 6.40 | Light brown, |
| 22 | F2S2 | 15 | 27 | DCM | 124.47 | 49.79 | Brown, viscous |
| 23 | F1S2 | 15 | 27 | EtOAc | 21.53 | 8.61 | Yellow, viscous |
| 24 | F2S2 | 15 | 27 | EtOAc | 128.77 | 51.51 | Yellow, viscous |
| 25 | F1S1 | 15 | 37 | DCM | 13.17 | 5.27 | Yellow, viscous |
| 26 | F2S1 | 15 | 37 | DCM | 94.17 | 37.67 | Orange, viscous |
| 27 | F1S1 | 15 | 37 | EtOAc | 23.17 | 9.27 | Yellow, viscous |
| 28 | F2S1 | 15 | 37 | EtOAc | 178.80 | 71.52 | Brown, viscous |
| 29 | F1S2 | 15 | 37 | DCM | 17.53 | 7.01 | Brown, viscous |
| 30 | F2S2 | 15 | 37 | DCM | 103.13 | 41.25 | Dark brown, |
| 31 | F1S2 | 15 | 37 | EtOAc | 16.93 | 6.77 | Yellow, viscous |
| 32 | F2S2 | 15 | 37 | EtOAc | 160.57 | 64.23 | Yellow, viscous |

หมายเหตุ *Bacillus tequilensis* (S1), *Bacillus subtilis* (S2), Glucose yeast peptone broth medium (F1), Yeast extract peptone dextrose agar (F2)

4.4 TLC fingerprint ของสารสกัดจากเชื้อ *Bacillus tequilensis* (S1) และ *Bacillus subtilis* (S2)

จากรูปที่ 10 แสดง TLC fingerprint ของสารสกัดที่ได้จากการเพาะเลี้ยง *Bacillus* sp. ทั้งสองชนิด จำนวน 32 สารสกัด เพื่อใช้พิจารณาองค์ประกอบทางเคมีเบื้องต้นของสารสกัดที่ได้ เมื่อเทียบกับสารสกัด S2A และ S1A ซึ่งเป็นสารสกัดที่มีฤทธิ์ในการยับยั้งการเจริญเติบโตของเซลล์มะเร็งระดับจากการทดลอง preliminary study สภาวะที่ใช้ในการทดลองคือ normal phase TLC plate โดยใช้ developing solvent เป็น dichloromethane:methanol อัตราส่วน 95:5 ภายใต้ UV lamp ความยาวคลื่น 254 nm (6A), ความยาวคลื่น 365 nm (6B) และหลังจากการ spray 10% sulfuric acid solution in alcohol แล้วให้ความร้อน 110 °C (6C) จะเห็นได้ว่า สารสกัดหมายเลข 4, 8, 12, 16, 19, 20, 23, 24, 28 และ 32 มีองค์ประกอบทางเคมีใกล้เคียงกับ สารสกัด S1A และ S2A ซึ่งเป็นสารสกัดในชั้นเอทิลอะซิเตทจากการเลี้ยงเชื้อ S1 และ S2 จากการทดลองขั้นต้นก่อนหน้า ซึ่งเป็นสารสกัดที่มีฤทธิ์ค่อนข้างดีในการยับยั้งการเจริญเติบโตของเซลล์มะเร็ง อีกทั้งมีร้อยละผลผลิตมากเพียงพอที่สามารถจะเพาะเลี้ยงให้ได้สารสกัดในปริมาณมากได้ จึงนำสารสกัดหมายเลขดังกล่าวไปทดสอบหาฤทธิ์ในการยับยั้งการเจริญเติบโตของเซลล์มะเร็งในหลอดทดลองต่อไป

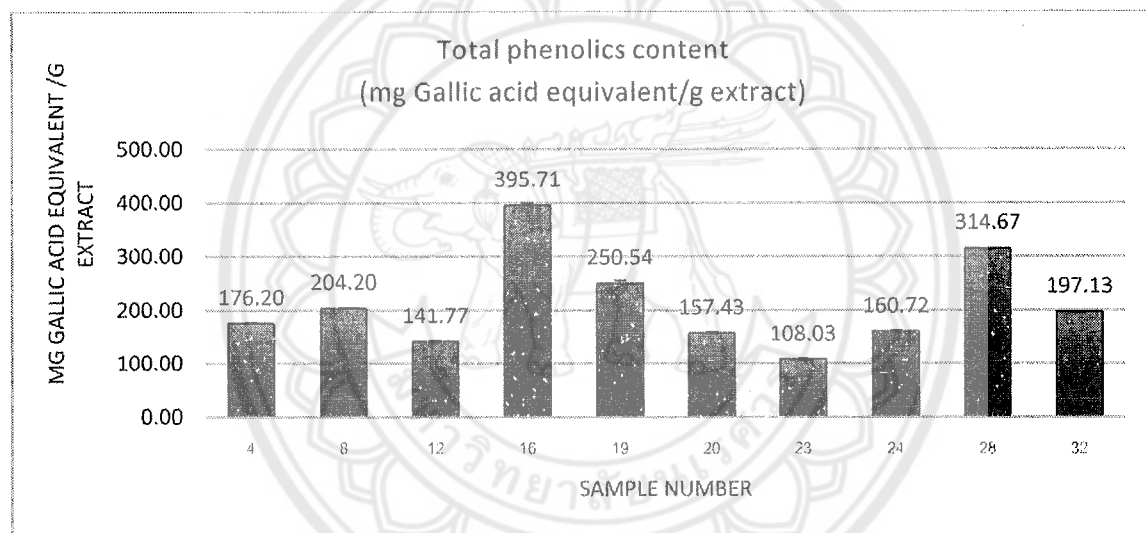


รูปที่ 10 แสดง TLC fingerprint ของสารสกัดจาก *Bacillus tequilensis* (S1) และ *Bacillus subtilis* (S2) หมายเลข 1-32 (สำหรับ S2A และ S1A คือสารสกัดที่มีฤทธิ์ในการยับยั้งการเจริญเติบโตของเซลล์มะเร็งตับจากการทดลอง preliminary study) เมื่อใช้ developing solvent เป็น dichloromethane:methanol อัตราส่วน 95:5 ภายใต้ UV lamp ความยาวคลื่น 254 nm (A), ความยาวคลื่น 365 nm (B) และหลังจากการ spray 10% sulfuric acid solution in alcohol แล้วให้ความร้อน 110 °C (C)

4.5 การวัดปริมาณกลุ่มสารทุติยภูมิในสารสกัดที่ได้จากการเพาะเลี้ยง เชื้อ *Bacillus tequilensis* (S1) และ *Bacillus subtilis* (S2)

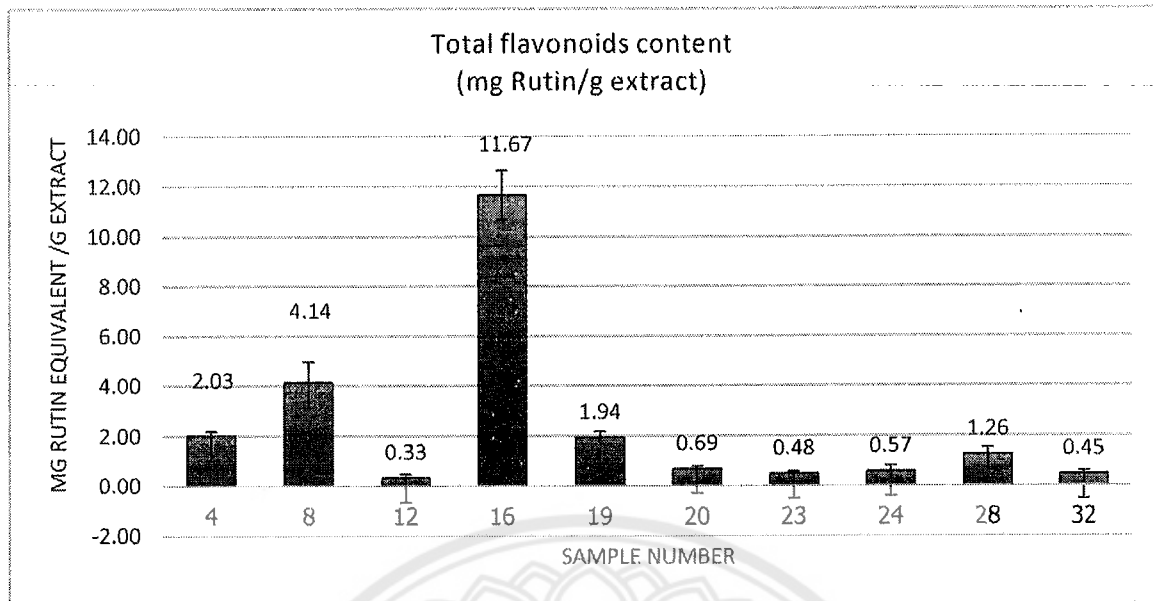
จากรูปที่ 11-15 และตารางที่ 8 จะเห็นได้ว่า สารสกัดจากการเพาะเลี้ยง *Bacillus* sp. ทั้งสองชนิด มีสารทุติยภูมิเป็นองค์ประกอบอย่างหลากหลายในสัดส่วนต่าง ๆ กัน ทั้งสารในกลุ่ม phenolic, flavonoids, triterpenoids และ cardiac glycoside แต่ตรวจไม่พบสารในกลุ่ม alkaloids โดยสารสกัดหมายเลข 16 มีสารกลุ่ม phenolics, flavonoids triterpenoids และ cardiac glycosides ในปริมาณสูงกว่าสารสกัดชนิดอื่น แสดงดังตารางที่ 8 องค์ประกอบทางเคมีที่หลากหลายในสารสกัดเหล่านี้ พร้อมทั้งฤทธิ์ทางชีวภาพ โดยเฉพาะอย่างยิ่งฤทธิ์ยับยั้งการเจริญเติบโตของเซลล์มะเร็งชนิดต่าง ๆ ในโครงการ 2 ชี้ให้เห็นถึงศักยภาพของเชื้อ S1 และ S2 ต่อการนำมาเพาะเลี้ยงเพื่อใช้ประโยชน์ในทางการรักษาและป้องกันโรคมะเร็งเป็นอย่างยิ่ง

4.5.1 Total Phenolics content



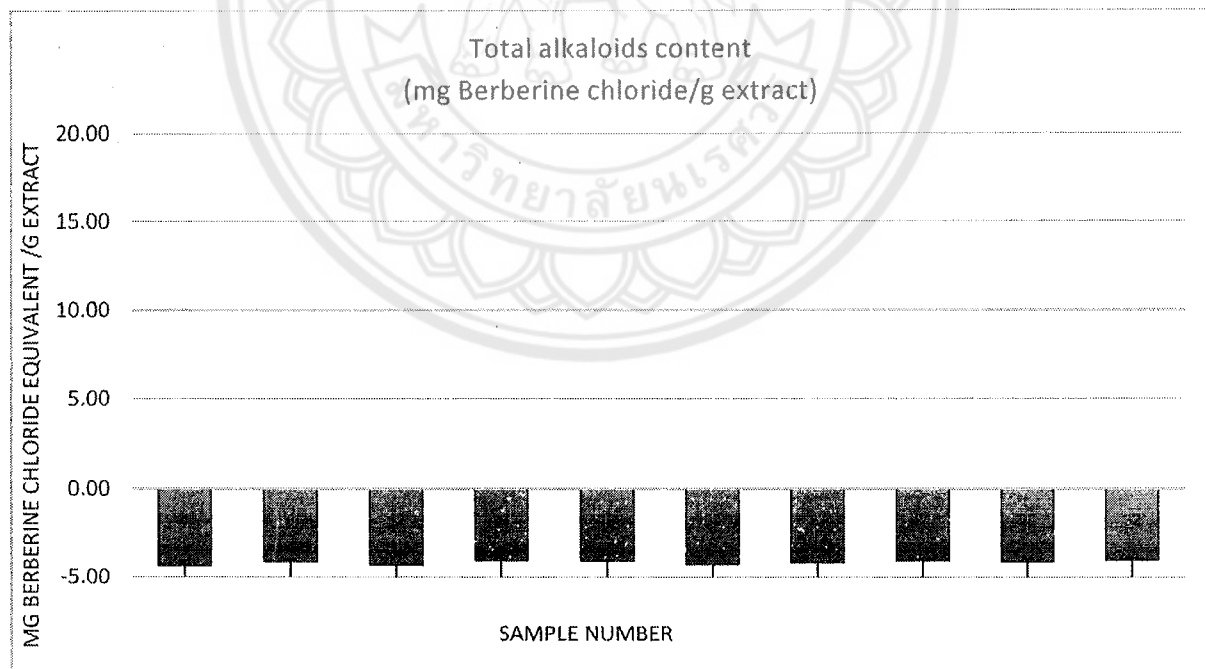
รูปที่ 11 แสดง total phenolic content ของสารสกัดหมายเลข 4, 8,12,16,19,20,23,24,28,32 ในหน่วย mg gallic acid

4.5.2 Total flavonoids content



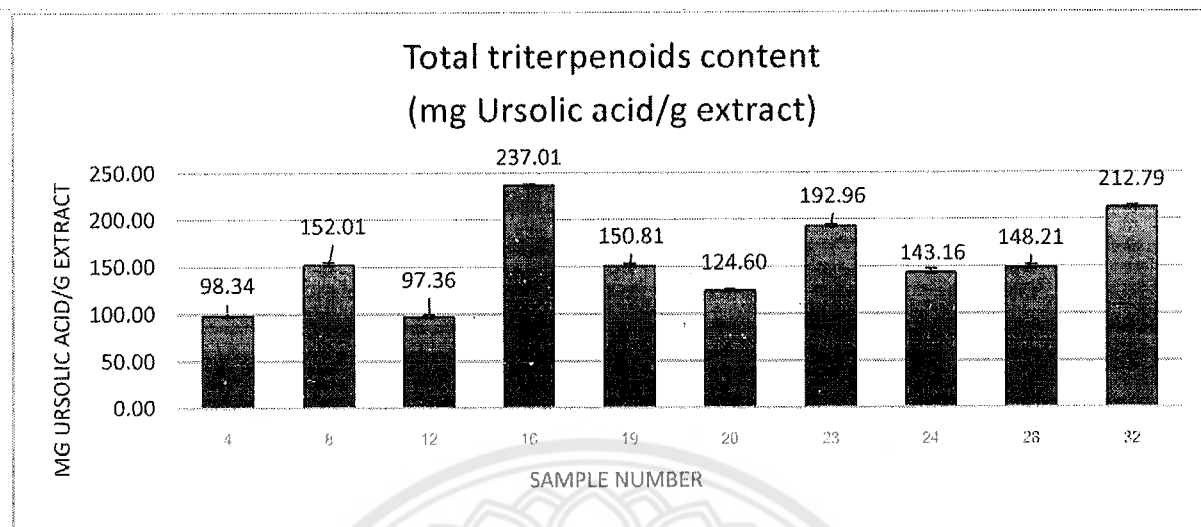
รูปที่ 12 แสดง total flavonoids content ของสารสกัดหมายเลข 4, 8,12,16,19,20,23,24,28,32 ในหน่วย mg rutin equivalent/ gram extract

4.5.3 Total alkaloids content



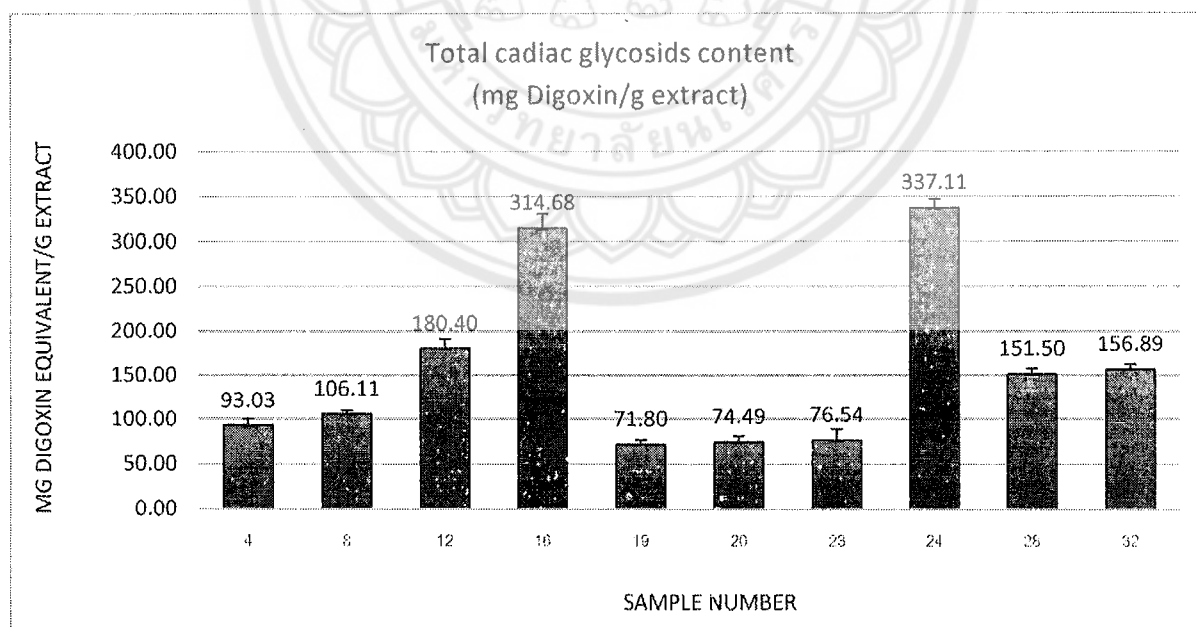
รูปที่ 13 แสดง total alkaloids content ของสารสกัดหมายเลข 4, 8,12,16,19,20,23,24,28,32 ในหน่วย mg berberine equivalent/ gram extract

4.5.4 Total triterpenoids content



รูปที่ 14 แสดง total triterpenoids content ของสารสกัดหมายเลข 4, 8,12,16,19,20,23,24,28,32 ในหน่วย mg ursolic acid equivalent/ gram extract

4.5.5 Total Cardiac glycoside content



รูปที่ 15 แสดง total cardiac glycosides content ของสารสกัดหมายเลข 4, 8,12,16,19,20,23,24,28,32 ในหน่วย mg digoxin equivalent/ gram extract

ตารางที่ 8 สรุปลักษณ์ประกอบทางเคมีเชิงปริมาณของสารสกัดจากอาหารเพาะเลี้ยงเชื้อ *Bacillus tequilensis* (S1) และ *Bacillus subtilis* (S2)

| Sample Number | Total phenolics content (mg gallic acid equivalent/g extract) | | Total flavonoids content (mg rutin equivalent/g extract) | | Total triterpenoids content (mg ursolic acid equivalent/g extract) | | Total alkaloids content (mg berberine equivalent/g extract) | | Total cardiac glycosides content (mg digoxin equivalent/g extract) | |
|---------------|---|------|--|------|--|------|---|------|--|-------|
| | Average | SD | Average | SD | Average | SD | Average | SD | Average | SD |
| 4 | 176.20 | 1.13 | 2.03 | 0.19 | 98.34 | 0.29 | -4.35 | 0.31 | 93.03 | 7.03 |
| 8 | 204.20 | 0.52 | 4.14 | 0.82 | 152.01 | 2.86 | -4.11 | 0.12 | 106.11 | 4.09 |
| 12 | 141.77 | 0.76 | 0.33 | 0.14 | 97.36 | 2.09 | -4.3 | 0.08 | 180.4 | 10.07 |
| 16 | 395.71 | 4.54 | 11.67 | 0.99 | 237.01 | 1.07 | -4.05 | 0.11 | 314.68 | 16.09 |
| 19 | 250.54 | 4.93 | 1.94 | 0.26 | 150.81 | 2.31 | -4.07 | 0.05 | 71.8 | 4.67 |
| 20 | 157.43 | 1.38 | 0.69 | 0.10 | 124.60 | 1.31 | -4.26 | 0.03 | 74.49 | 6.48 |
| 23 | 108.03 | 0.53 | 0.48 | 0.09 | 192.96 | 1.71 | -4.16 | 0.06 | 76.54 | 12.29 |
| 24 | 160.72 | 0.93 | 0.57 | 0.24 | 143.16 | 4.22 | -4.04 | 0.04 | 337.11 | 10.09 |
| 28 | 314.67 | 0.10 | 1.26 | 0.27 | 148.21 | 3.19 | -4.09 | 0.15 | 151.5 | 6.29 |
| 32 | 197.13 | 0.43 | 0.45 | 0.14 | 212.79 | 2.05 | -4.01 | 0.13 | 156.89 | 5.53 |

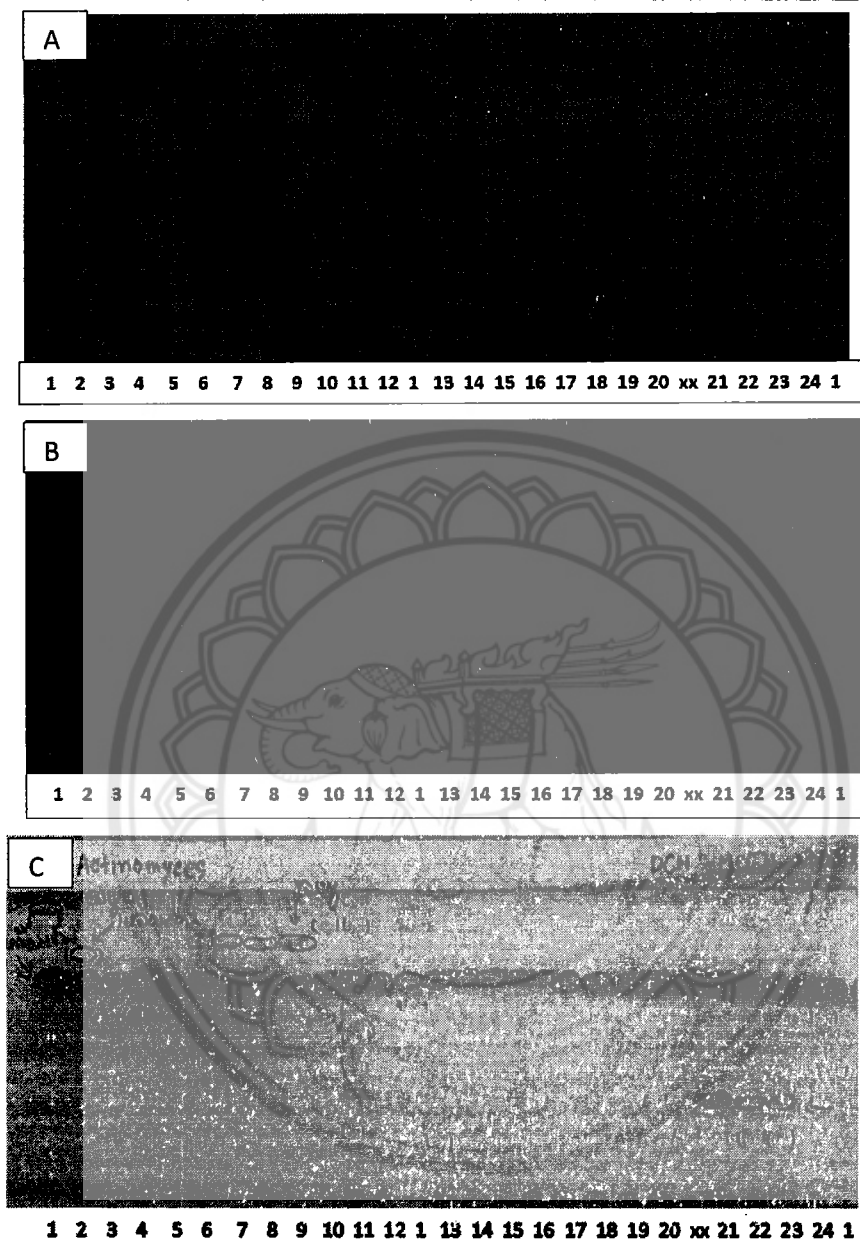
4.6 ร้อยละและลักษณะของผลผลิตของการสกัดอาหารเพาะเลี้ยงเชื้อแอกติโนแบคทีเรีย 12 isolates

การเลี้ยงเชื้อแอกติโนแบคทีเรียที่แยกสกัดได้จากดิน ในประเทศไทย จำนวน 12 เชื้อ แสดงร้อยละผลผลิตและลักษณะทางกายภาพดังตารางที่ 9 จะเห็นได้ว่าสารสกัดในชั้นไดคลอโรมีเทนที่ได้จากการเพาะเลี้ยงเชื้อ JPN2 มีร้อยละผลผลิตที่ค่อนข้างสูง ประกอบกับฤทธิ์ยับยั้งการเจริญเติบโตของเซลล์มะเร็งค่อนข้างดี สารสกัดนี้จึงถูกเลือกให้นำไปเลี้ยงในปริมาณมากถึง 25 ลิตร ได้ผลผลิต 858 มิลลิกรัม เพื่อนำไปใช้ในการทดสอบฤทธิ์ทางชีวภาพในสัตว์ทดลองในโครงการ 2 ต่อไป

ตารางที่ 9 แสดงหมายเลขของสารสกัดที่ได้จากการสกัดสารจากน้ำเลี้ยงเชื้อแอสโคดีโนแบคทีเรีย 12 isolates แสดงร้อยละผลผลิตและลักษณะทั่วไปของสารสกัดที่ได้ (สารสกัดหมายเลข 1-24)

| หมายเลขสารสกัด | ไอโซเลท | ตัวทำละลายอินทรีย์ที่ใช้สกัด | น้ำหนักสารสกัด (mg) | %yields (mg) | ลักษณะทางกายภาพ |
|----------------|---------|------------------------------|---------------------|--------------|---------------------|
| 1 | JPN2 | dichloromethane | 35.9 | 21.1 | หนืด สีน้ำตาล |
| 2 | B14 | dichloromethane | 12.3 | 8.2 | หนืด สีน้ำตาลอ่อน |
| 3 | B19 | dichloromethane | 6.6 | 4.4 | หนืด สีน้ำตาล |
| 4 | Bar14 | dichloromethane | 7.7 | 5.1 | หนืด สีน้ำตาลเข้ม |
| 5 | Bor09 | dichloromethane | 6.9 | 6.3 | หนืด สีน้ำตาล |
| 6 | Zin05 | dichloromethane | 4.7 | 3.3 | หนืด สีน้ำตาล |
| 7 | Zin13 | dichloromethane | 11.5 | 7.2 | หนืด สีเหลือง |
| 8 | Al08 | dichloromethane | 6.9 | 3.6 | หนืด สีน้ำตาล |
| 9 | TM32 | dichloromethane | 8.8 | 5.9 | หนืด สีน้ำตาล |
| 10 | LPL6 | dichloromethane | 7.9 | 5.6 | หนืด สีน้ำตาลอ่อน |
| 11 | HML2 | dichloromethane | 4.9 | 2.45 | หนืด สีน้ำตาล |
| 12 | AIP03 | dichloromethane | 20.3 | 13.5 | ผงแห้ง สีน้ำตาลอ่อน |
| 13 | JPN2 | Ethyl acetate | 11.9 | 7.0 | หนืด สีน้ำตาล |
| 14 | B14 | Ethyl acetate | 10.9 | 7.3 | หนืด สีน้ำตาลอ่อน |
| 15 | B19 | Ethyl acetate | 26.0 | 17.3 | ผงแห้ง สีเหลืองอ่อน |
| 16 | Bar14 | Ethyl acetate | 23.1 | 15.4 | หนืด สีน้ำตาล |
| 17 | Bor09 | Ethyl acetate | 7.2 | 6.5 | หนืด สีน้ำตาล |
| 18 | Zin05 | Ethyl acetate | 11.3 | 8.1 | หนืด สีน้ำตาลเข้ม |
| 19 | Zin13 | Ethyl acetate | 14.0 | 8.7 | หนืด สีน้ำตาลแดง |
| 20 | Al08 | Ethyl acetate | 29.8 | 15.7 | หนืด สีน้ำตาลเข้ม |
| 21 | TM32 | Ethyl acetate | 17.1 | 11.4 | หนืด สีน้ำตาลเข้ม |
| 22 | LPL6 | Ethyl acetate | 8.0 | 5.3 | หนืด สีเหลืองอ่อน |
| 23 | HML2 | Ethyl acetate | 8.3 | 4.15 | หนืด สีเหลืองอ่อน |
| 24 | AIP03 | Ethyl acetate | 12.3 | 8.2 | หนืด สีน้ำตาล |

4.7 TLC fingerprint ของสารสกัดจากเชื้อแอคติโนแบคทีเรีย 12 isolates



รูปที่ 16 แสดง TLC fingerprint ของสารสกัดจาก เชื้อแอคติโนแบคทีเรีย 12 isolates หมายเลข 1-24 เมื่อใช้ developing solvent เป็น dichloromethane:methanol อัตราส่วน 95:5 ภายใต้ UV lamp ความยาวคลื่น 254 nm (A), ความยาวคลื่น 365 nm (B) และหลังจากการ spray 10% sulfuric acid solution in alcohol แล้วให้ความร้อน 110 oC (C)

รูปที่ 16 แสดงลักษณะของ TLC fingerprint แสดงองค์ประกอบทางเคมีของสารสกัดที่ได้จากการเพาะเลี้ยงแอคติโนแบคทีเรีย แล้วสกัดแยกโดยใช้ไดคลอโรมีเทน หรือเอทิลอะซิเตท จำนวนรวม 24 สารสกัด จะเห็นได้ว่าจำนวนสารที่แสดงใน TLC ของสารหมายเลข 1 คือสารสกัดชั้นไดคลอโรมีเทนของเชื้อ JPN2

สายพันธุ์ *Streptomyces kunmingensis* มีหลายจุด แสดงให้เห็นถึงความหลากหลายของสารทุติยภูมิที่เชื้อสร้างขึ้น ประกอบกับผลการทดลองหาฤทธิ์ในการยับยั้งการเจริญเติบโตของเซลล์มะเร็งในหลอดทดลองในโครงการ 2 พบว่ามีฤทธิ์ที่ดี สารสกัดชั้นดังกล่าวจึงถูกเลือกที่จะนำไปเพาะเลี้ยงในปริมาณมากขึ้นถึง 25 ลิตร เพื่อให้ได้สารสกัดที่เพียงพอต่อการทดลองในสัตว์ทดลองในโครงการย่อยที่ 2

5 สรุปและวิจารณ์ผลการทดลอง

- 5.5 ผลการจัดจำแนกแบคทีเรีย 14 ไอโซเลทจากดินและพืชในประเทศไทย โดยอาศัยลักษณะทางสัณฐานวิทยา ร่วมกับการวิเคราะห์ลำดับเบสในบริเวณยีน 16S rDNA พบว่าแบคทีเรียที่แยกได้จากดินในเขตอุทยานแห่งชาติน้ำหนาว ประเทศไทย คือ ไอโซเลท S1 และ S2 มีความใกล้เคียงกับ *Bacillus tequilensis* และ *Bacillus subtilis* subsp. *inaquosorum* มากที่สุด โดยมีความเหมือนเท่ากับ 99.86% และ 99.86% ตามลำดับ แบคทีเรียจำนวน 12 ไอโซเลทที่แยกได้จากดินรอบรากขิง และ รากของข้าว พบว่าจัดอยู่ในกลุ่มของแอคติโนแบคทีเรียโดย จัดอยู่ในจีนัส *Microbispora* sp. 2 ไอโซเลท (HML2 และ LPL) และ *Streptomyces* sp. 10 ไอโซเลท โดย JPN2, B14, Zin05 และ B19 พบว่ามีความใกล้เคียงกับ *Streptomyces kunmingensis*, *Streptomyces coerulescens*, *Streptomyces californicus* และ *Streptomyces variabilis* ตามลำดับ โดยมี % identity เท่ากับ 99 %
- 5.6 ผลของการสกัดพบว่าสารจาก *Bacillus* sp ทั้ง 2 ไอโซเลท โดยใช้ไดคลอโรมีเทนหรือเอทิลอะซิเตท ในสภาวะการเลี้ยงที่แตกต่างกันพบว่า มีปริมาณผลผลิตของสารสกัด ในช่วง 7-120 mg% yield
- 5.7 ผลการวิเคราะห์องค์ประกอบทางเคมีเชิงปริมาณของสารสกัดหมายเลข 4,8,12,16,19,20,23,24,28 และ 32 พบว่ามีปริมาณสารในกลุ่มฟีนอลิกในช่วง 108-395 mg gallic acid equivalent/g extract, ปริมาณสารกลุ่มฟลาโวนอยด์พบได้น้อย เฉพาะสารสกัดย่อยหมายเลข 16 มี 11 mg rutin equivalent/g extract, ปริมาณสารในกลุ่มคาร์ดิแอกไกลโคไซด์ พบได้ในหลายสารสกัดแตกต่างกันไปในช่วง 4-337 mg digoxin equivalent/g extract, ปริมาณสารในกลุ่มอัลคาลอยด์ตรวจไม่พบ เมื่อเทียบกับสารมาตรฐาน berberine chloride และ ปริมาณสารในกลุ่มไตรเทอพีนอยด์พบในปริมาณค่อนข้างสูงในช่วง 98-237 mg ursolic acid equivalent/g extract
- 5.8 ร้อยละผลผลิตของสารสกัดจากแอคติโนแบคทีเรียอยู่ในช่วง 3-21 mg% yield โดยชั้นไดคลอโรมีเทนของไอโซเลท JPN2 มีร้อยละผลผลิตค่อนข้างมากร่วมกับมีฤทธิ์ในการยับยั้งการเจริญเติบโตของเซลล์มะเร็งตับในหลอดทดลองได้ดีจึงถูกเลือกไปศึกษาฤทธิ์ในการยับยั้งการเจริญเติบโตของมะเร็งตับในสัตว์ทดลองต่อไปในโครงการที่ 2

6 เอกสารอ้างอิง

1. Berdy, J.C. 1995. Bioactive microbial metabolites. *Journal of Antibiotics*. 58: 1-28
2. Berman, V.S., Greenstein, M., Carte, G.T. 2004. Mining marine microorganisms as a source of new antimicrobials and antifungal. *Current Medical Chemistry-Anti-Infective Agents*. 3: 181-195.
3. Bruns, A., Philipp, H., Cypionka, H. and Brinkhoff, T. 2003. *Aeromicrobium marinum* sp. nov., an abundant pelagic bacterium isolated from the German Wadden Sea. *International Journal of Systematic and Evolutionary Microbiology*. 53: 1917-1923.
4. Colquhoun, J. A., Mexson, J., Goodfellow, M., Ward, A. C., Horikoshi, K. and Bull, A. T. 1998. Novel rhodococci and other mycolate actinomycetes from the deep sea. *Antonie van Leeuwenhoek*. 74: 27-40.
5. Fenical, W. and Jensen, P.R. 2006. Developing a new resource for drug discovery: marine actinomycete bacteria. *Nature Chemical Biology*. 2: 666-673.
6. Gontang, E.A., Fenical, W., Jensen, P.R. 2007. Phylogenetic diversity of Gram positive bacteria cultured from marine sediments. *Applied and Environmental Microbiology*. 73: 3272-3282.
7. Goodfellow, M. and Haynes, J. A. 1984. Actinomycetes in marine sediments. In *Biological, Biochemical, and Biomedical Aspects of Actinomycetes*, pp. 452-472. Edited by L. Ortiz-Ortiz, L.F. Bojalil and V. Yakoleff. New York: Academic Press.
8. Goodfellow, M., Simpson, K.E. 1987. Ecology of Streptomyces. *Frontiers in Applied Microbiology*. 2: 97-125.
9. Han, S. K., Nedashkovzkaya, O. I., Mikhailov, V. V., Kim, S. B. and Bae, K. S. 2003.
10. *Salinibacterium amurkyense* gen. nov., sp. nov., a novel genus of the family Microbacteriaceae from the marine environment. *International Journal of Systematic and Evolutionary Microbiology*. 53: 2061-2066.
11. Hong, S. G., Lee, Y. K., Yim, J. H., Chun, J. and Lee, H. K. 2008. *Sanguibacter antarcticus* sp. nov., isolated from Antarctic sea sand. *International Journal of Systematic and Evolutionary Microbiology*. 58: 50-52.
12. Huang, Y., Dai, X., He, L., Wang, Y-N., Wang, B-J., Liu, Z. and Liu, S-J. 2005. *Sanguibacter marinus* sp. nov., isolated from coastal sediment. *International Journal of Systematic and Evolutionary Microbiology*. 55: 1755-1758.
13. and Evolutionary Microbiology. 55: 1755-1758.
14. Jensen, P.R., Dwight, R., Fenical, W. 1991. Distribution of actinomycetes in near shore tropical marine sediments. *Applied and Environmental Microbiology*. 57: 1102-1108.
15. Kageyama, A., Haga, T., Kasai, H., Shizuri, Y., Omura, S. and Takahashi, Y. 2008. *Marihabitans asiaticum* gen. nov., sp. nov., a meso-diaminopimelic acid-

- containing member of the family Intratorangiaceae. *International Journal of Systematic and Evolutionary Microbiology*. 58: 2429-2432.
16. Kanoh, K., Matsuo, Y., Adachi, K., Imagawa, H., Nishizawa, M., Shizuri, Y. 2005. Mechermarmycins A and B, cytotoxic substances from marine-derived *Thermoactinomyces* sp. YM3-251. *Journal of Antibiotics (Tokyo)*. 58: 289-292.
 17. Kim, S. B., Nedashkovskaya, O. I., Mikhailov, V. V., Han, S. K., Kim, K. O., Rhee, M. S. and Bae, K. S. 2004. *Kocuria marina* sp. nov., a novel actinobacterium isolated from marine sediment. *International Journal of Systematic and Evolutionary Microbiology*. 54: 1617-1620.
 18. Kokare, C. R., Mahadik, K. R., Kadam, S. S. and Chopade, B. A. 2004. Isolation, characterization and antimicrobial activity of marine halophilic *Actinopolyspora* species AH1 from the west coast of India. *Current Science*. 86: 593-597.
 19. Lane DJ (1991) 16S/23S rRNA sequencing. In: Stackebrandt E, Goodfellow M (eds) *Nucleic acid techniques in bacterial systematics*. Wiley, New York, pp 115-175.
 20. Lee, S. D. 2008. *Brevibacterium marinum* sp. nov., isolated from seawater. *International Journal of Systematic and Evolutionary Microbiology*. 58: 500-504.
 21. Lee, D. W. and Lee, S. D. 2008. *Tessaracoccus flavescens* sp. nov., isolated from marine sediment. *International Journal of Systematic and Evolutionary Microbiology*. 58: 785-789.
 22. Maldonado, L. A., Fenical, W., Goodfellow, M., Jensen, P. R., Kauffman, C. K. and Ward, A. C. 2005a. *Salinispora* gen nov., sp. nov., *Salinispora arenicola* sp. nov., and *S. tropica* sp. nov., obligate marine actinomycetes belonging to the family *Micromonosporaceae*. *International Journal of Systematic and Evolutionary Microbiology*. 55: 1759-1766.
 23. Maldonado, L. A., Stach J. E. M., Pathom-aree, W., Ward, A. C., Bull, A. T. and Goodfellow, M. 2005b. Diversity of cultivable actinobacteria in geographically widespread marine sediments. *Antonie van Leeuwenhoek*. 87: 11-18.
 24. Matsumoto, A., Kasai, H., Matsuo, Y., Omura, S., Shizuri, Y. and Takahashi, Y. 2009. *Ilumatobacter fluminis* gen. nov., sp. nov., a novel actinobacterium isolated from the sediment of an estuary. *Journal of General and Applied Microbiology*. 55: 201-205.
 25. Michelle, J. S., Sy, T., Ginger T, Venkat R. M., Kin S. L. 2008. Seawater requirement for the production of lipoxazolidinones by marine actinomycete strain NPS8920. *Journal of Indian Microbiology and Biotechnology*. 35: 761-765.
 26. Mitchell, S.S., Nicholson, B., Teisan, S., Lam, K.S., Potts, B.C.M. 2004. Aureovorticillactam, a novel 22-atom macrocyclic lactam from the marine actinomycete *Streptomyces aureovorticillatus*. *Journal of Natural Product*. 67: 1400-1402.

27. Ningthoujam, D.S., Sanasam, S., Nimaichand, S. 2009. Screening of actinomycete isolates from niche habitats in Manipur for antibiotic activity. *American Journal of Biochemistry and Biotechnology*. 5: 221-222.
28. Pathom-aree, W., Y. Nogi, I. C. Sutcliffe, A. C. Ward, K. Horikoshi, A. T. Bull and M. Goodfellow. 2006c. *Dermacoccus abyssii* sp. nov., a novel piezotolerant actinomycete isolated from the Mariana Trench. *International Journal of Systematic and Evolutionary Microbiology*. 56: 1233-1237.
29. Pathom-aree, W., Y. Nogi, I. C. Sutcliffe, A. C. Ward, K. Horikoshi, A. T. Bull and M. Goodfellow. 2006d. *Dermacoccus barathri* sp. nov. and *Dermacoccus profundus* sp. nov., novel actinomycetes isolated from the deepest sea mud of Mariana Trench. *International Journal of Systematic and Evolutionary Microbiology*. 56: 2303-2307.
30. Sabry, S. A., Ghanem, N. B., Abu-Ella, G. A., Schumann, P., Stackebrandt, E. and Kroppenstedt, R. M. 2004. *Nocardiopsis aegyptia* sp. nov., isolated from marine sediment. *International Journal of Systematic and Evolutionary Microbiology*. 54: 453-456.
31. Stach, J. E. M., Maldonado L. A., Ward, A. C., Bull, A. T. and Goodfellow, M. 2004. *Williamsia maris* sp. nov., a novel actinomycete isolated from the Sea of Japan. *International Journal of Systematic and Evolutionary Microbiology*. 54: 191-194.
32. Takami, H., Inoue, A., Fuji, F. and Horikoshi, K. 1997. Microbial flora in the deepest sea mud of the Mariana Trench. *FEMS Microbiology Letters*. 152: 279-285.
33. Takeuchi, M. and Hatano, K. 1998. Proposal of six new species in the genus *Microbacterium* and transfer of *Flavobacterium marinotypicum* ZoBell and Upham to the genus *Microbacterium* as *Microbacterium maritypicum* comb. nov. *International Journal of Systematic Bacteriology*. 48: 973-982.
34. Takizawa, M., Colwell, R.R., Hill, R.T. 1993. Isolation and diversity of actinomycetes in Chesapeake Bay. *Applied and Environmental Microbiology*. 59: 97-1002.
35. Tamura, T. and Sakane, T. 2005. *Asanoa iriomotensis* sp. nov., isolated from mangrove soil. *International Journal of Systematic and Evolutionary Microbiology*. 55: 725-727.
36. Thawai, C., Tanasupawat and Kudo, T. 2008. *Micromonospora pattaloongensis* sp. nov., isolated from a Thai mangrove forest. *International Journal of Systematic and Evolutionary Microbiology*. 58: 1516-1521.
37. Vobis, G. 1997. Morphology of Actinomycetes. In *Atlas of Actinomycetes* (Miyodo, S., ed.). The Society for Actinomycetes Japan. p. 181-190. Japan.
38. William, R.H. 1989. *Bergey's Manual of Systematic Bacteriology*. Vol. 4. Baltimore. Williams&Wilkins. U.S.A.

39. Yi, H. and Chun, J. 2004. *Nocardioides aestuarii* sp. nov., isolated from tidal flat sediment. *International Journal of Systematic and Evolutionary Microbiology*. 54: 2151-2154.
40. Yi, H., Schumann, P. and Chun, J. 2007. *Demequina aestuarii* gen. nov., sp. nov., a novel actinomycete of a suborden Micrococcineae, and reclassification of *Cellulomonas fermentans* Bagnara et al. 1985 as *Actinotalea fermentans* gen. nov., comb. nov. . *International Journal of Systematic and Evolutionary Microbiology*. 57: 151-156.
41. Zhao, H., Kassama, Y., Young, M., Kell, D.B. and Goodacre, R. 2004. Differentiation of *Micromonospora* isolates from a coastal sediment in Wales on the basis of Fourier Transform Infrared Spectroscopy, 16S rRNA sequence analysis, and the Amplified Fragment Length Polymorphism technique. *Applied and Environmental Microbiology*. 70: 6619-6627.

